

NGU Rapport 91.224

Gravimetri for kartlegging  
av løsmassemektigheter i  
Stjørdal

Rapport nr. 91.224	ISSN 0800-3416	Gradering: Åpen
<b>Tittel:</b> <b>Gravimetri for kartlegging av løsmassemektigheter i Stjørdal</b>		
Forfatter:  Jan Fredrik Tønnesen	Oppdragsgiver:  NGU	
Fylke:  Nord-Trøndelag	Kommune:  Stjørdal	
Kartbladnavn (M=1:250.000) Trondheim	Kartbladnr. og -navn (M=1:50.000) 1621 I Stjørdal	
Forekomstens navn og koordinater:  Stjørdal 32 6000 70380	Sidetall: 52  Kartbilag: 3	Pris: kr 140,-
Feltarbeid utført:  1985-86	Rapportdato:  14.02.92	Prosjektnr.:  62.2243.00
<b>Ansvarlig:</b> <i>Jan S. Rønning</i>		
<b>Sammendrag:</b> <p>Den gravimetriske undersøkelsen er avgrenset til de nedre ca. 10 km av Stjørdalen, dvs. fra fjorden og opp mot Hegra. Målingene omfatter 408 observasjonspunkter, hvorav 328 er fordelt langs 7 profiler på tvers av dalen.</p> <p>Bougueranomalier er beregnet og framstilt som farge/kotekart. Det er utført modellberegninger av løsmassemektighet og fjelloverflatens forløp langs profilene. Ut fra profiltolkningene er det sammenstilt et tolkningskart som viser fjelloverflatens morfologi under løsmassene i dalføret.</p> <p>Profilmålingene indikerer at løsmassene gir negative tyngdeanomalier av størrelse opptil 6,5 mGal lengst vest og 3,8 mGal lengst øst i dalen. Fjelloverflaten langs de dypeste deler av dalen er tolket å variere mellom 200 og 300 m under havnivå, med oppgrunning til ca. 170 m lengst øst. Det brede dalområdet i vest er delt i to dalbassenger av en langsgående fjellrygg som i vestlige del når opp til mindre enn 100 m under havnivå.</p>		
Emneord:	Kvartærgeologi	Geomorfologi
Geofysikk	Løsmasse	
Gravimetri	Mektighet	Fagrappport

## INNHOLD

	Side
1      INNLEDNING .....	4
2      DATAINNSAMLING .....	4
3      BEARBEIDING AV DATA .....	5
4      ANOMALIVURDERINGER .....	6
4.1    Bougueranomalikart .....	6
4.2    Bougueranomalier langs utplukksprofiler .....	6
4.3    Regional- og residualanomalier langs profiler .....	7
5      GEOLOGI OG DENSITETER .....	8
6      MODELLBEREGNINGER .....	9
7      TOLKNINGSKART - FJELLOVERFLATE .....	11
8      DISKUSJON - USIKKERHETER .....	11
9      KONKLUSJON .....	12
10     REFERANSER .....	13

## TEKSTBILAG

- 1      Prosjekt 62.2243.00: Prosjektskisse
- 2      Kort beskrivelse av gravimetri

## DATABILAG

- 1      Gravimetridata fra Stjørdal innsamlet i 1985 og 1986
- 2      Farge/kote-kart over Bougueranomalier i Stjørdal
- 3      Bougueranomalier langs utplukksprofiler
- 4      Tyngdemodellering - Modelldata

## KARTBILAG

- 91.224-01    Oversiktskart
- 02    Tyngdemodellering - Fjelloverflate
- 03    Tolkningskart - Fjelloverflate

## 1 INNLEDNING

Stjørdal er det første dalføret som undersøkes systematisk i prosjekt 62.2243.00: Gravimetrisk kartlegging av løsmassemektigheter i nedre dalområder i Trøndelag (se tekstbilag 1). Tidligere er det for samme formål utført målinger av mer begrenset omfang i Gaulosen (Tønnesen 1991).

Tyngdemålingene i Stjørdal ble utført sommer/høst 1985 med noen få tilleggsmålinger høsten 1986. Dalområdet som er dekket utgjør de nedre ca. 10 km, fra Stjørdalsfjorden og opp mot Hegra, med hovedvekt på målinger langs 7 profiler på tvers av dalen (se kartbilag 91.224-01). Måledata fra 1985 ble stort sett ferdig bearbeidet og tolket i 1986 og tolkningsresultater er blitt presentert i to foredrag (Tønnesen 1986 og 1987).

Denne rapporten omhandler bearbeiding av alle måledata med beregning av Bouguer-anomalier, tyngdemodellering av løsmassemektigheter og fjelloverflatens forløp langs måleprofiler samt et tolkningskart som viser fjelloverflatens morfologi i dalføret.

## 2 DATAINNSAMLING

Innsamling av tyngdedata ble utført med NGUs LaCoste & Romberg gravimeter, modell G nr. 569. Målingene omfatter totalt 408 observasjonspunkter, hvorav 328 er fordelt langs 7 profiler på tvers av dalen med målepunktavstand som regel 50 m. Av de øvrige målepunktene er 33 (pkt.nr. 44-53 og 58-80) plassert på løsmasse i områdene mellom profilene, mens 47 er plassert direkte på fjelloverflate eller nær fjell i områdene nord og sør for dalsedimentene. I profilene er som regel endepunktene også plassert på fjell. For kontroll av daglig drift ble målingene knyttet til en lokal basisstasjon opprettet på inngangstrapp til Esso Taverna ved Hell-senteret. Denne ble igjen knyttet til NGOs tyngdebasisstasjon på Trondheim lufthavn Værnes (Trondheim P) for absolutt bestemmelse av tyngdefeltets verdi.

I profilene ble avstanden mellom observasjonspunktene innmålt med målesnor, mens punkthøydene ble bestemt ved nivellelement (teodolitt og målestang). For absolutt høydebestemmelse er det i hvert profil tatt utgangspunkt i ett eller flere høydefastmerker; enten kommunale polygonpunkter, Statens Vegvesens polygonpunkter langs E75 (E14 fra 1992) eller nivellementsfastmerker langs jernbanen. Av observasjonspunktene utenom profilene er 45 plassert direkte på slike høydefastmerker eller på trig.pkt. i det økonomiske kartverket. For 18 målepunkter er fotogrammetrisk bestemte punkthøyder i

kartverket benyttet, mens 5 målepunkter er plassert lettkjennelig sted på en høydekkote. Sjønivå er brukt som referanse for 12 målepunkter. Det er da benyttet tidevannstabeller (Norges Sjøkartverk) sammenholdt med sjønivå i forhold til høyde på trig.pkt. Stjørdal havn (2,23 m o.h.).

I profilene ble avstandsinnmåling, nivellering og tyngdeobservasjon utført fortløpende for hvert målepunkt. Profilmålingene ble gjennomført i løpet av 15 arbeidsdager av to personer. For tyngdeobservasjon på de øvrige punktene samt en del rekognosering er det brukt 8 arbeidsdager i tillegg (en person). De 11 første dagene av profilmålingene ble nivelleringsarbeidet utført av Jan Håbrekke, mens Torleif Lauritsen overtok de resterende 4 dager. Alle tyngdeobservasjoner er utført av Jan Fredrik Tønnesen.

### 3 BEARBEIDING AV DATA

Måledata ble først korrigert for daglig drift og deretter friluftskorrigert for stativhøyde der dette var aktuelt. De korrigerte observasjonsverdiene vist som utskrift i databilag 1 refererer seg til IGSN71-systemet.

Beregning av Bougueranomalier er utført etter vanlig prosedyre ved NGU (Mathisen 1976). Både i Bouguer- og terrengkorrekjonen er det benyttet en standard densitet på 2670 kg/m<sup>3</sup>. For området innenfor 1 km fra et målepunkt ble terrengkorrekjonen bestemt ved sirkelhøyder. For målepunktene sentralt i dalen ble det som regel bare brukt en sirkel. For målepunkter nærmere dalsidene og for alle punktene på fjell ble det benyttet tre sirkler med henholdsvis 100 m, 300 m og 600 m radius. Som høydedata-grunnlag ble benyttet økonomisk kartverk i målestokk 1:5.000 med 5 m ekvidistanse. Korrekjonsverdier og Bougueranomalier er vist som utskrift i databilag 1.

Data for alle målepunktene er lagt inn i gravimetridatabasen ved NGU.

## 4 ANOMALIVURDERINGER

### 4.1 Bougueranomalikart

Ut fra datagrunnlaget i gravimetridatabasen er det framstilt et farge/kote-kart over Bougueranomaliene i Stjørdalsområdet (se databilag 2). Kartet er avgrenset av UTM-nordlinjene 7035 og 7042 km og UTM-østlinjene 593 og 605 km og er nedfotografert til målestokk 1:50.000 fra opprinnelig kart i 1:20.000. Anomaliene er gjengitt med farge/koteintervall på 0,5 mGal.

Alle anomalier innenfor kartet har negative verdier og variasjonsområdet er på vel 12 mGal, fra -27 mGal til under -39 mGal. Et markert lavanomaliområde følger dalføret og viser innvirkningen av løsmassene. Bunnverdiene øker fra under -39 mGal i vestlige del til litt under -33 mGal lengst øst. Det regnes at lavanomaliene fortsetter videre ut i fjorden mot vest og likeså oppover dalen forbi østre kartkant. Sammenknytning av anomaliene på tvers av dalen i begge ender er hovedsakelig en effekt av manglende datagrunnlag.

Ut fra målepunktene på fjell er anomaliverdiene sør for dalføret i området -29 - -32 mGal og anomalifeltet heller generelt nedover mot nord. Lengst øst dreier helningen nordvestover og anomaliverdien øker til området -27 - -29 mGal. På nordsiden av dalen er anomaliverdiene lavere enn på sørsiden, men anomalivariasjonen er mer kompleks. Vestover fra UTM-østlinje 604 km til 600 km endres anomaliverdiene fra ca. -30 mGal til rundt -33 mGal. Det lavere anomaliområdet i mellom skyldes sannsynligvis løsmassene i sidedalføret som kommer ned fra nordøst og dreneres av Gråelva. Få målepunkter medfører at anomaliforløpet mot nord i dette området er forholdsvis usikkert. Lengst vest rundt UTM-øst 594,5 km er anomaliverdiene over fjell -33,5 - -34 mGal, dvs. 0,5-1,0 mGal lavere enn i området ved UTM-øst 600 km. I området imellom danner anomaliverdiene over fjell et lavområde som ser ut til å gå ned mot -35,5 mGal.

### 4.2 Bougueranomalier langs utplukksprofiler

For videre vurdering og tolkning av anomaliene ble det fra gravimetridatabasen tatt anomaliutplukk langs rettlinjede profiler. For hvert profil ble da målepunkter innenfor en angitt avstand fra profilet tatt med. Sju av utplukksprofilene er tilnærmet sammenfallende med de sju måleprofilene på tvers av dalen. I tillegg ble det foretatt utplukk langs et profil (profil X) i området mellom nordendene av profil 5 og 7. Anomalidata i profil X omfatter målepunktene 43-54 langs riksvei E75 og anomaliverdier fra kryssingsområdet for profil 6. De 8 Bougueranomaliprofilene er vist i databilag 3. Alle profilene har

startkoordinat i ende med lavest UTM-østverdi. Profil 1-2 og 4-7 har da startpunkt i nord, mens profil 3 har omvendt retning med 0-punkt i sør. Profil X har startpunkt i vest. For hvert målepunkt er anomaliverdien angitt som midtpunktet av en 0,2 mGal lang vertikal strek.

#### 4.3 Regional- og residualanomalier langs profiler

For tolkning av løsmassemektigheter langs utplukksprofilene må løsmassenes anomaliinnvirkning først skilles ut. Dette gjøres ved å legge inn et regionalt anomalifelt som skyldes berggrunnen i området, og trekke dette i fra Bougueranomalifeltet. Bougueranomaliene fra målepunkter direkte på fjell nord og sør for dalføret vil være lite påvirket av dalsedimentene og kan derfor benyttes til å legge inn et regionalt anomalifelt. I profilene er som regel målepunktene i hver ende også plassert på fjell og kan benyttes for nivåvurdering av regionalfeltet. En komplikasjon oppstår når den virkelige berggrunnsdensiteten avviker fra standard-densiteten  $2670 \text{ kg/m}^3$  som er brukt ved reduksjon av måledata til havnivå. Bougueranomaliene vil da være avhengig av topografisk høyde på målepunktene. Berggrunnsdensiteten i området er anslått til  $2700 \text{ kg/m}^3$  (kapittel 5). Med en densitetsforskjell på bare  $30 \text{ kg/m}^3$  vil innvirkningen her være beskjeden, dvs. at Bougueranomaliverdiene vil øke med ca.  $0,13 \text{ mGal}$  for  $100 \text{ m}$  økning i målepunkthøyde.

Det er rimelig å anta at regionalanomalifeltet varierer lineært over den relativt korte avstanden på tvers av dalsedimentene, spesielt når dalføret er omgitt av samme type bergarter. I databilag 3 er angitt det valgte regionalanomalinivå for første og siste målepunkt i hvert profil. I databilag 4 vises residualanomaliene som framkommer i hvert profil når regionalanomalifeltet er trukket fra Bougueranomaliene. Profilene indikerer at løsmassenes maksimale anomaliinnvirkning varierer langs dalføret, fra  $-6,5 \text{ mGal}$  lengst vest til  $-3,8 \text{ mGal}$  lengst øst.

## 5 GEOLOGI OG DENSITETER

For modellberegning av løsmassemektigheter er det viktig å kjenne densiteter både på løsmasser og berggrunn best mulig. Berggrunnsgeologisk kart Trondheim i målestokk 1:250.000 (Wolff 1979) viser at området ligger innenfor Størendekket i Trondheimsfeltet og består av lavmetamorf gråvakkesandstein, leirskifre og konglomerater. Det er i denne undersøkelsen ikke foretatt densitetsbestemmelser av disse bergartene, men i følge Wolff (1984, s. 10) har de en densitet på rundt  $2700 \text{ kg/m}^3$ . Denne verdi er benyttet som berggrunnsdensitet i tyngdemodelleringene. Da modelleringene ble utført forelå det ingen informasjon i petrofysikkdatabasen ved NGU om berggrunnsdensiteter i Stjørdalsområdet. Et utplukk fra databasen i 1991 indikerer at bergartene kan ha litt høyere densitet enn anvendt i modelleringene.

Kvartærgeologien i Stjørdalsområdet er beskrevet av Reite (1986). Under isavsmeltingen ved slutten av siste istid kalvet breen opp i Trondheimsfjorden i Allerød (12000-11000 år siden) og det er sannsynlig at hele eller deler av Stjørdalsområdet var isfritt en del av denne perioden. Nytt breframstøt i tidlig Yngre Dryas (10800-10500 år siden) medførte at hele området ble isdekket igjen med isfronten stående på tvers av fjorden ca. 7 km vest for det vestligste måleprofilet. Fra dette israndtrinnet trakk brefronten seg raskt tilbake fra området, men et nytt breframstøt i sen Yngre Dryas (10300-10200 år siden) nådde fram til Hegra, øst for det østligste måleprofilet.

Det er uvisst hvor mye av løsmassene i dalføret som er av Allerød alder eller eldre og hvor mye som er avsatt i tiden under og etter isfrontens siste tilbaketrekking fra området. Det regnes at løsmassene vesentlig består av finkornige hav- og fjordsedimenter (silt og leire) avsatt under avsmeltningsperiodene. Finkornige avsetninger fra Allerød vil være overkjørt av isen i Yngre Dryas og kan derfor være overlagret av morenelag. Det er heller ikke utelukket at det kan ligge isranddrygger og annet grovere avsmeltningsmateriale skjult under silt og leire.

Langs hele dalbunnen i Stjørdal er de finkornige sedimentene dekket av sand-dominerte elveavsetninger, vesentlig avsatt som deltautbygging i fjorden til ulike tider under landhevningen som fulgte etter istiden. Landhevningen medførte også at tidligere avsetninger i dalen kom over havnivå og ble erodert av elver og bekker. Overflaten av silt- og leiravsetningene kan derfor tidligere ha ligget betydelig høyere enn nå, i hvert fall i østlige del av dalområdet. Elveavsetningene regnes å ha liten mektighet under dagens elvenivå, unntatt i vest ut mot eksisterende fjorddelta. Østover i dalen har elve/delta-avsetningene størst mektighet under høyreliggende terrasseflater som står igjen som erosjonsrester opptil 20-30 m over dagens elvenivå.

Ut fra tidligere vurderinger (Tønnesen 1978) anslås sediment-densiteten for vannmettet sand-dominerte avsetninger å ligge rundt 2000 kg/m<sup>3</sup>. Underliggende leirer, som er relativt godt konsoliderte, kan regnes å ha omtrent samme densitetsverdi. Sand-dominerte avsetninger over grunnvannsnivå er anslått å ha densitet ca. 1700 kg/m<sup>3</sup>. Moreneavsetninger vil ha mindre porevolum enn andre avsetningstyper, og vannmettet morene-materiale regnes derfor å ha høyere densitetsverdier, dvs. i området 2200-2400 kg/m<sup>3</sup>.

## 6 MODELLBEREGNINGER

Tyngdemodellering er utført med tolkningsprogrammet GAMMA (Lindberg 1982) implementert på HP-dataanlegget ved NGU. Programmet beregner anomalivirkningen fra kropper med horisontal lengdeakse, konstant polygonformet tverrsnitt og endelig lengde (2½ D).

Løsmassemodellen langs hvert profil er bygd opp av flere kropper med lengdeakse normalt på profilretningen. For kropper over grunnvannsnivå er det benyttet en densitet på 1700 kg/m<sup>3</sup>, mens underliggende kropper er satt til 2000 kg/m<sup>3</sup>. Grunnvannsnivå er anslått på skjønn ut fra aktuelt elvenivå. Med en anslått berggrunnsdensitet på 2700 kg/m<sup>3</sup> gir dette en densitetskontrast på 1000 kg/m<sup>3</sup> mellom løsmasser over grunnvannsnivå og fjell og 700 kg/m<sup>3</sup> mellom grunnvannsmettet materiale og fjell. Oversiden av de øvre kroppene er best mulig tilpasset terrengoverflaten bestemt av målepunkthøydene langs profilet. Fjelloverflaten i modellen ble først lagt inn med en enkel form. Fjellformen ble så justert inntil det ble oppnådd god overensstemmelse mellom anomalivirkningen fra modellen og residualanomaliene.

Resultatene av modellberegningene er vist i databilag 4. Første side for hvert profil består av en grafisk profilutskrift. Denne viser modellformen (tverrsnitt av kroppene), modellanomalien (heltrukket) og residualanomaliene. Positiv lengdeakse (y-akse) for kroppene har retning normalt opp fra profilsnittet (=xz-planet=papirplanet). På neste side følger en tabellutskrift av modelldata.

I kartbilag 91.224-02 er modelltolkningene av fjelloverflaten under havnivå tegnet i målestokk 1:10.000 for alle profilene. For profil 1-7 er nordenden til venstre, mens profil X har vestenden til venstre. I profil 1-7 representerer felles 0-linje profilenes kryssing med UTM-nordlinje 7040 km, mens den for profil X representerer UTM-østlinje 601 km.

Profil 1-3 indikerer at en sentral fjellrygg stikker opp langsetter det brede dalområdet i vest. Tolkningene angir dypet til 125 m under havnivå i profil 1, 90 m i profil 2 og 40 m i profil 3. Dalfordypningen på nordsiden går ned til ca. 300 m under havnivå i profil 1, men grunner opp til 215 m i profil 2 og 150 m i profil 3. Daldypet på sørsiden når også ned til ca. 300 m under havnivå i profil 1, men grunner opp til ca. 240 m i profil 2 og 3. I profil 1 og 2 indikerer tolkningene at det 500-600 m nord for sørrenden av profilene kan være en fjellrygg som stikker opp til henholdsvis 110 og 100 m under havnivå. Fra det 30-50 m dypere området sønnafor stiger fjelloverflaten steilt mot sør.

Profil 4 krysser fortsettelsen av den dype og brede dalformen fra søndre del av profil 3, men maksimaldypet er redusert til 200 m under havnivå og ligger noe sør for midten av dalen. Fjelloverflaten skråner ned til mer enn 100 m under havnivå bare 200-300 m ut fra fjell i dagen på begge sider av dalen.

I profil 5 er dalformen trangere og dypere enn i profil 4. Dalbredden er bare 750 m 50 m under havnivå, men innenfor dette området skråner dalsidene bratt ned til maksimaldypet på ca. 270 m under havnivå. Dypområdet er forskjøvet mot nordlige del av profilet. Fra sørsiden av dalen skråner fjelloverflaten slakt nedover og når 50 m under havnivå først etter 350 m, mens den fra nordsiden når dette dyp etter mindre enn 100 m.

I profil 6 skråner søndre dalside jevnt og forholdsvis slakt mot nord, når det sees bort fra lokal fjelltopografi ved sørrenden av profilet. Fjelloverflaten når maksimaldypet på 210-220 m under havnivå der profilet krysser Stjørdalselva. Derfra stiger nordre dalside steilt opp til 100 m under havnivå, men fortsetter videre å stige slakt innover dalutvidelsen mot nord. Løsmassemodellen avsluttes brått mot profilenden i nord. I virkeligheten regnes fjelloverflaten å stige relativt slakt også videre nordover i sidedalføret og være dekket av et forholdsvis tykt løsmasselag.

Profil 7 indikerer at en fjellrygg når opp til ca. 40 m under havnivå sør for midten av profilet. Dalformen nordafor når ned til et dyp på 160-180 m under havnivå. På sørsiden av ryggen er fjelloverflaten anslått å ligge 100 m under havnivå. Fjellsiden som sees i dagen på sørsiden av dalen er nesten loddrett og det ser ut til at den fortsetter relativt steilt også ned under løsmassene.

I profil X ligger fjelloverflaten for det meste i området 70-100 m under havnivå langs østre halvdel av profilet med helning nedover fra øst mot vest. Fjelloverflaten går ned til 140-150 m under havnivå i vestre halvdel av profilet.

## 7 TOLKNINGSKART - FJELLOVERFLATE

Et tolkningskart over fjelloverflatens forløp i Stjørdalen er utarbeidet og vist i kartbilag 91.224-03. Høydekotene er angitt i meter under havnivå med ekvidistanse 50 m. Kartet bygger i alt vesentlig på tolkningsmodellene langs profilene, og koteforløpet imellom profilene er stort sett interpolert etter eget skjønn. I området fra profil 1 til profil 3 er det en del anomalidata utenom måleprofilene, og disse data er tatt med under vurdering av koteforløpet i den nedre del av dalføret. Dette har bl.a. medført at fjellryggen langs-dalen har sitt bredeste og trolig høyeste parti i området mellom profil 1 og 2, og likeledes at ryggen har et sadelpunkt mellom profil 2 og 3. For å fastlegge havnivå-konturens forløp er det i tillegg benyttet informasjon både fra kvartærgeologisk kart og fra det økonomiske kartverket. Ytterligere feltkontroll er i svært liten grad utført.

## 8 DISKUSJON - USIKKERHETER

Det er vanskelig å gi noen eksakt verdi for usikkerheten i løsmassemektighetene som er bestemt fra de gravimetriske data. Dersom forutsetningene som er brukt er tilnærmet oppfylt, kan nøyaktigheten langs profilene være omtrent like god som det vanligvis regnes for grunnseismikk, dvs. innenfor 10 % avvik. For relativt små mektigheter (dvs. mindre enn 30-40 m) kan nok usikkerheten være en god del større. Dersom gravimetritolkningene kunne knyttes til mektighetsinformasjon fra seismikk eller borer enkelte steder, ville tolkningsusikkerheten kunne bedres betydelig. Slik tilleggsinformasjon var ikke tilgjengelig for tolkningsene i Stjørdal.

Det er forutsatt at regionalanomalien varierer lineært langs tolkningsprofilene. Det kan ut fra kartbildet tenkes at feltet har noe brattere helning mot nord langs sørkant av dalen enn lenger nord. Residualanomaliene som er benyttet vil i tilfelle ha litt for stor verdi, spesielt i sørlige deler av dalen, og vil medføre at beregnede løsmassemektigheter blir litt for store. En usikkerhet på 0,2 mGal vil utgjøre opptil 10-15 m feil i beregning av dyp til fjell. De relative anomalivariasjoner langs profilene er imidlertid store og reelle og påvirkes svært lite av usikkerheten i residualanomaliene.

Nyere informasjon fra petrofysikk-databasen ved NGU indikerer at bergartstypene som finnes i Stjørdals-området kan ha noe høyere densitet enn  $2700 \text{ kg/m}^3$  som er benyttet i tolkningsene. Dette medfører at de beregnede dyp kan være litt for store. Dersom det opptrer større mektigheter av morenemateriale, som har høyere densitet enn benyttet i løsmassemodellene, vil de virkelige dyp til fjell kunne være en god del større enn beregnet.

Tolkningsmodellene er forholdsvis enkle og bygger på en del forutsetninger. Kroppene har et konstant polygonformet tverrsnitt med lengdeakse på tvers av profilene. Lengden på kroppene er så stor at de som regel tilnærmet kan betraktes som todimensjonale. Tolkningsmodellen vil representer et gjennomsnitt av forholdene på begge sider av profilet. Dersom det er store variasjoner i dyp til fjell på tvers av profilretningen, vil beregnet dyp kunne ha betydelig avvik fra virkelig verdi.

Usikkerheten i beregnet dyp til fjell langs profilene på tvers av dalen regnes å være størst i søndre del av profil 1, 2 og 7. I tillegg til størst usikkerhet i regionalfeltet langs de sørlige deler av profilene er det her oppnådd dårligst tilpasning mellom modell- og residualanomali.

## 9 KONKLUSJON

Gravimetri langs 7 profiler på tvers av Stjørdalen mellom fjorden og Hegra indikerer at løsmassene gir negative tyngdeanomalier av størrelse opptil 6,5 mGal lengst vest og 3,8 mGal lengst øst i dalen. Tyngdemodellering av løsmassene viser at fjelloverflaten langs de dypeste deler av dalen varierer mellom 200 og 300 m under havnivå med oppgrunning til 160-180 m lengst øst.

Det brede dalområdet i vest er delt i to dalbassenger av en langsgående fjellrygg. I et over en km langt område i vest, rundt kryssingspunkt mellom hovedflystripe Værnes/E6/Nordlandsbanen, ligger fjellryggen grunnere enn 100 m under havnivå. Østover ser fjellryggen ut til å gå ned i et sadelpunkt som danner en åpnere forbindelse mellom de to bassengområdene. Lengst vest når begge bassengene ned til et dyp på 300 m under havnivå. Det nordlige bassenget grunner opp mot øst og avsluttes mot Koksås/Hognesberga. Det sørlige bassenget fortsetter videre oppover hoveddalen. Lengst øst ser det ut til at en fjellrygg stikker opp til ca. 40 m under havnivå litt sør for midten av dalen.

## 10 REFERANSER

- Lindberg, H. 1982: Användarbeskrivning för GAMMA, ett datorprogram för beräkning av gravimetriska eller magnetiska anomalier. *Sveriges geologiska undersökning, Internrapport Geofysik FR8210/FM8219*.
- Mathisen, O. 1976: A Method for Bouguer Reduction with Rapid Calculation of Terrain Corrections. *Norges geografiske oppmåling, Geodetiske arbeider 18*.
- Norges sjøkartverk: Tidevannstabeller for den norske kyst med Svalbard 1985, 48. årgang.
- Norges sjøkartverk: Tidevannstabeller for den norske kyst med Svalbard 1986, 49. årgang.
- Reite, A.J. 1986: Stjørdal. Beskrivelse til kvartærgeologisk kart 1621 I, M 1:50.000. *Norges geologiske undersøkelse, Skrifter 72, 28 s.*
- Tønnesen, J.F. 1978: Geofysiske undersøkelser av kvartære sedimenter i Numedal. *Hovedoppgave i geofysikk/kvantærgeologi, Institutt for geologi, Universitetet i Oslo*.
- Tønnesen, J.F. 1986: Gravity measurements applied to the mapping of sediment thickness and bedrock morphology in valleys in Trøndelag. *Geolognytt 21, s. 21*. (Sammendrag av foredrag ved Norsk geologisk forenings 10. landsmøte, Trondheim januar 1987).
- Tønnesen, J.F. 1987: Gravity Measurements Applied to the Mapping of Sediment Thickness and Bedrock Morphology in Valleys in Trøndelag. *Geoexploration 24, nr. 3, s. 255-256*. (Abstract of paper, presented at the 16th meeting of the Nordic Association for Applied Geophysics (NOFTIG), Trondheim januar 1987.)
- Tønnesen, J.F. 1991: Gravimetri for kartlegging av løsmassemektigheter i Gaulosen. *NGU Rapport 91.211*.
- Wolff, F:C. 1979: Beskrivelse til de berggrunnsgeologiske kart Trondheim og Østersund 1:250.000 (med fargetrykte kart). *NGU 353, 76 s.*
- Wolff, F.C. 1984: Regional Geophysics of the Central Norwegian Caledonides. *Norges geologiske undersøkelse, Bulletin 397, s. 1-27*.

Prosjekt 62.2243.00: Prosjektskisse

Tittel

Gravimetri for kartlegging av løsmassemektigheter og fjellforløp i de nedre dalområdene innenfor kartblad Trondheim 1:250 000.

Situasjon og ønskemål

Løsmassene i de lavereliggende deler av de større dalførene er avsatt i fjordbassenger under og etter isens tilbaketrekning, og mektighetene er som regel store. Fjellformen i bassengene og løsmassemektighetene er bare kjent fra enkelte steder hvor det er målt seismikk. Det finnes også enkelte gamle dypboringer. For å få et bedre bilde av forholdene vil det være ønskelig å kartlegge områdene ved hjelp av gravimetri.

Metodefordeler

1. Gravimetri er rimelige og enkle målinger som egner seg godt for kartlegging av store løsmassemektigheter. Seismiske målinger blir dyrere og mer omstendelige når mektighetene blir store.
2. Bebyggelse og tekniske installasjoner er ingen hindring for målingene. Disse forhold kan begrense muligheten for og brukbarheten av seismiske og elektriske målinger. Områdene som ønskes undersøkt er av de mest bebygde i Trøndelag og er typiske pressområder.

Forventede produkter

1. Tyngdeanomali-kart/profiler over dalområdene med omgivelser.
2. Tolknings-kart/profiler over løsmassemektigheter og fjelloverflatens forløp.
3. Volum og masseberegnning av løsmassene i dalførene.

Bruk av dataene

1. De kan gi bedre forståelse av den geomorfologiske utvikling av dalførene i løpet av kvartærtiden.
2. For vurdering av den kvartærgeologiske utvikling vil det være viktig å ha kjennskap til størrelsen av løsmasseavsetningene.
3. For planleggings- og utbyggingsformål vil det alltid være nyttig å ha kjennskap til fjelloverflatens forløp under løsmassene.
4. Målingene vil redusere omfanget og nødvendigheten av andre geofysiske målinger og borer i forbindelse med kartlegging, planlegging og utbygging. Disse kan da lettere koncentreres om utvalgte områder og for nærmere kartlegging av løsmasetyper.
5. Når et dalområde er målt gravimetrisk vil det være lett å gjøre utfyllende målinger innen bestemte områder senere.
6. En del av målingene vil gå naturlig inn som en videreføring av de regionale målingene som allerede er utført innenfor kartbladet (oppdrag 1377).

## KORT BESKRIVELSE AV GRAVIMETRI

Tyngdekraften er et naturfenomen som alle mennesker er fortrolig med, men tyngdeloven ble ikke formulert før i 1687 av Isaac Newton. Newtons lov er enkel,  $K=G \frac{M \cdot m}{R^2}$ , eller med ord: To legemer trekker på hverandre med en kraft (K) som er proporsjonal med legemenes masser (M og m) og omvendt proporsjonal med kvadratet på avstanden mellom dem ( $R^2$ ). G i formelen er en konstant.

Størstedelen av den tyngdekraften merker på jordoverflaten skyldes Jordens enorme masse som kan tenkes konsentrert i Jordens midtpunkt. Denne masse virker på mindre masser (gjenstander, mennesker osv.).

Hvis jorden ikke roterte og var fullstendig kuleformet og homogen, ville en ha samme tyngdekraft over alt på Jordoverflaten. Dette er ikke tilfelle, flatttrykkingen ved polene gjør at en der er 21 km nærmere Jordens tyngdepunkt enn ved ekvator, og sammen med sentrifugalkraften gjør dette at en har større tyngdekraft på polene enn ved ekvator.

Hvis en mäter tyngdekraften over en lett bergart, vil en få mindre tyngde enn normalt for breddegraden fordi en da har mindre masse like under observasjonspunktet. Over en malmforekomst eller bergart med stor egenvekt vil en observere større tyngde enn normalt.

I første omgang fikk gravimetrien stor betydning for utrekning av Jordens form og Jordskorpens sammensetning i grove trekk. Til nøyaktig måling av tyngdekraften, eller det en egentlig er ute etter, tyngdens akselerasjon g, bruker en pendelmålinger. Dette er tidkrevende og innviklete målinger, hvor svingtiden for en pendel brukes til å bestemme absoluttverdien av g.

Det var først da en utviklet de moderne instrumentene som hurtig måler relative verdier eller tyngdeforskjeller, at gravimetrien også fikk stor anvendelse innen malmleting og for berekning av mindre geologiske strukturer.

NGU har et Worden gravimeter og et LaCoste & Romberg gravimeter. I grove trekk er slike instrumenter fjærvekter. På et sted med stor g blir massen i fjæra dratt lenger ned enn på et sted med mindre g. Forlengelsen av fjæra er da et mål for g på stedet. For at temperatursignaler ikke skal influere på målingene, er instrumentene bygget inne i termosflasker. De nyeste instrumentene har dessuten batteri og termostat for å oppnå konstant temperatur.

Enheten Gal ( $\text{cm}/\text{sek}^2$ ) blir brukt når det gjelder tyngde, men i gravimetrien benyttes mest milliGal. På våre breddegrader er g normalt ca.  $9.81 \text{ m}/\text{sek}^2 = 981 \text{ Gal} = 981\,000 \text{ milliGal}$ .

På Worden gravimetret kan en lese av tyngdevariasjoner på 0.01 milliGal, på LaCoste & Romberg gravimetret 0.001 milliGal.

Instrumentene er små og lette, og en mann kan utføre målingene alene, hver observasjon tar bare et par minutter. På grunn av drift i instrumentene og daglige variasjoner i tyngden forårsaket av sol og måne, må en flere ganger om dagen tilbake til et fast punkt og ta ny observasjon for å få en "driftskurve".

Når de innsamlede tyngdemålingene skal bearbeides, må en innføre en hel del korrekksjoner, slik at de anomaliene en får fram kun skyldes forhold nede i grunnen.

Fordi avstanden til jordens massemidtpunkt spiller så stor rolle, (en høydeforskjell på 5 cm vil utgjøre 0.01 milliGal), må en ha høyden på alle målepunktene, og alle observasjonene må reduseres til ett nivå. Ved undersøkelser av mindre strukturer eller malmforekomster må punktene nivelleres, mens en ved større regionale undersøkelser ikke trenger den samme nøyaktighet og kan velge målepunkter med kjent høyde direkte fra kart.

Breddegradskorreksjon, driftskorreksjon og høydekorreksjon er enkelt og raskt å gjøre, men i et land som Norge vil også topografien ha stor innflytelse på målingene. Hvis det er et fjell eller en knaus i nærheten av et observasjonspunkt, vil fjellets masse virke på instrumentene. Massen som ligger høyere enn instrumentene vil virke med en kraft oppover, og en får for lav verdi. En dal vil ha samme virkning da der mangler en masse som skulle ha virket nedover.

Korreksjonen for terrengoverflaten var før svært arbeidskrevende å beregne, men etter at datateknikken er tatt i bruk går det greit. Det er nødvendig at en har gode kart over området rundt målepunktene.

Etter at reduksjonsarbeidet er gjort, og en trekker fra den tyngde en teoretisk skulle ha på stedet, vil en få et Bouguer-anomalikart. (Bouguer var en fransk geodet). De anomaliene en da har, skyldes bare forhold (egenvektsfordelinger) nede i grunnen.

En tyngdeanomali kan skyldes et uendelig antall kombinasjoner av egenvektskontrast og dimensjon på den kroppen en har nede i grunnen. Men som regel vet en hva slags egenvekter en har med å gjøre, og en har også andre opplysninger om geologien som begrenser antall muligheter.

Det en ofte gjør når en skal tolke en tyngdeanomali, er at en tenker seg visse modeller som er sannsynlige og berekner hvilke anomalier disse ville forårsake. En sammenlikner så med de observerte anomaliene og varierer dimensjonene på modellene til en får samme anomalier som de observerte. Til dette arbeidet bruker vi nå vårt EDB-anlegg, Hewlett-Packard 3000. Maskinen rekner ut og tegner opp anomalikurver over en modell på få sekunder. På den måten kan et stort antall modeller bli prøvd på kort tid.

Sted : STJORDAL

Oppdragsnr. : 2243

Mjølingene utført i 1985 Beregningene utført i MAR 1986

* Stasjon Profil Punkt	Bredde- grad	Lengde- grad	UTM- sist	UTM- sone	UTM- nord	Høyde (m)	Observert tyngde	Bouguer korr.	Friulifts - korr.	Bouguer - anomali
1	63 28.86	10 55.93	596253	7040803	37.42	982137.090	4.24	.98	-35.79	*
2	63 29.05	10 55.58	595948	7041159	76.42	982129.560	8.66	1.22	-35.73	*
3	63 29.06	10 55.30	595718	7041160	82.47	982128.040	9.34	1.55	-35.74	*
4	63 29.47	10 55.93	596213	7041932	151.00	982113.100	17.10	2.62	46.57	*
5	63 28.89	10 55.77	596111	7040857	151.55	982137.280	14.74	2.92	11.58	*
6	63 28.41	10 53.82	594522	7039918	13.08	982145.410	5.35	1.54	-35.65	*
7	63 28.43	10 53.61	594351	7039959	46.53	982135.540	5.27	1.34	-34.00	*
8	63 29.26	10 53.99	594619	7041502	153.26	982142.430	1.15	1.87	14.09	*
9	63 29.32	10 57.02	597127	7041691	153.00	982114.700	17.33	1.59	-47.18	*
10	63 28.91	10 58.24	598160	7040962	173.00	982111.300	19.59	1.18	53.35	*
11	63 28.54	10 58.04	598021	7040271	147.00	982114.590	3.10	2.43	53.33	*
12	63 28.73	10 58.07	598035	7040613	172.92	982109.970	19.59	2.43	53.33	*
13	63 28.23	10 53.59	594344	7039577	94	982104.970	1.11	1.47	-34.71	*
14	63 28.24	10 52.95	593806	7039590	86	982146.160	10	1.47	-35.79	*
15	63 28.60	10 52.74	593613	7040254	78	982146.620	0.9	1.47	-35.73	*
16	63 26.70	10 55.58	596084	7036781	16.76	982135.500	1.90	1.47	-35.53	*
17	63 26.70	10 55.41	597463	7036790	126.72	982119.220	12.77	3.68	32.63	*
18	63 26.41	10 57.30	597563	7035188	112.74	982124.800	1.75	1.75	-33.62	*
19	63 25.81	10 58.30	598320	7035602	65.58	982135.000	1.08	1.08	-28.86	*
20	63 26.02	10 58.83	598724	7036722	52.46	982136.610	5.94	1.06	28.78	*
21	63 26.62	10 58.76	599521	7037083	78.00	982130.800	8.84	1.06	30.51	*
22	63 26.80	10 59.73	599589	7035654	70.53	982132.690	7.99	1.06	30.84	*
23	63 26.09	10 59.41	599009	7039107	38.50	982136.380	4.35	1.06	24.06	*
24	63 27.90	10 59.19	599078	7039476	55.00	982094.830	6.23	1.06	21.75	*
25	63 27.02	10 58.30	599350	7039599	234.69	982096.900	26.58	1.06	11.87	*
26	63 28.07	10 59.62	599396	7039041	161.00	982112.190	18.24	1.06	16.96	*
27	63 27.86	10 59.65	599950	7039043	117.00	982122.730	13.25	1.06	32.46	*
28	63 27.85	11 3.32	602108	7041532	111.20	982125.310	1.08	1.08	-34.49	*
29	63 27.90	11 1.25	604343	7040563	146.21	982136.900	1.53	1.54	-33.18	*
30	63 28.07	11 1.25	6036520	7036520	147.00	982124.790	1.43	1.43	-33.18	*
31	63 28.16	10 59.62	594529	7036484	110.00	982126.610	1.46	1.46	-33.18	*
32	63 26.58	10 53.02	593126	7036320	105.00	982126.610	1.46	1.46	-33.18	*
33	63 26.48	10 53.31	594204	7036728	64.00	982132.420	1.08	1.08	-33.18	*
34	63 26.59	11 3.01	594384	7036163	169.19	982113.290	19.16	2.14	-29.72	*
35	63 26.59	11 5.71	594529	7036291	151.86	982116.300	17.20	2.49	-29.74	*
36	63 26.58	10 53.02	593126	7036686	177.50	982113.410	20.10	2.10	-28.84	*
37	63 26.58	10 52.02	594204	7036320	105.00	982126.610	1.46	1.46	-33.46	*
38	63 26.48	10 53.31	595259	70336765	194.00	982112.320	21.97	2.02	-27.81	*
39	63 26.38	10 54.59	594384	7036447	184.00	982112.320	11.90	1.92	-32.38	*
40	63 26.38	10 54.12	600426	7036437	105.00	982127.830	20.44	1.81	-28.53	*
41	63 26.44	10 54.63	601024	7037132	92.50	982129.110	10.48	1.23	-29.70	*
42	63 26.80	11 1.54	600418	7038681	12.36	982141.590	1.40	1.40	-36.15	*
43	63 27.85	11 3.85	600490	7038885	16.64	982141.760	1.89	1.89	-36.48	*
44	63 26.68	11 2.92	601116	7038980	19.44	982138.830	2.20	1.80	-36.50	*
45	63 26.38	11 1.97	601322	7039003	120.37	982138.460	2.31	1.75	-36.73	*
46	63 27.80	11 2.18	601496	7039022	20.24	982138.490	2.29	1.77	-6.24	*
47	63 27.91	11 2.31	601603	7039218	23.15	982138.600	2.62	1.77	-7.14	*
48	63 27.82	11 2.36	601649	7039039	19.59	982138.820	2.22	1.79	-6.04	*
49	63 27.96	11 2.97	602145	7039324	18.74	982142.720	1.95	1.74	-34.74	*
50	63 27.96	11 2.97	602145	7039324	8.38	982142.720	1.95	1.74	-34.74	*

Sted : STJORDAL

Oppdragsnr. : 2243

Mjølingene utført i MAR 1985 Beregningene utført i MAR 1986

* * * * * Stasjon * * * * * Profil punkt	Bredde- grad	Lengde- grad	UTM- sone	UTM- sist	UTM- nord	Hylde (1 m)	Observeret tyngde	Bouguer- korr.	Friulfts- korr.	Bouguer- anomali *
51	63 28.04	11 3.66	322V	602716	7039481	11.80	982143.330	1.34	.91	-33.63 *
52	63 28.01	11 3.87	322V	602893	7039433	9.26	982144.110	1.05	1.03	-33.23 *
53	63 27.94	11 4.35	322V	603290	7039292	9.43	982145.180	1.18	1.09	-31.99 *
54	63 27.92	11 4.91	322V	603756	7038238	16.31	982145.650	1.85	1.02	-30.02 *
55	63 27.93	11 6.04	322V	604710	7038199	89.50	982131.270	10.14	2.44	-28.44 *
56	63 27.32	11 5.74	322V	604489	7037588	100.45	982127.810	11.38	2.11	-28.74 *
57	63 26.98	11 6.03	322V	604749	7038300	197.00	982111.150	2.23	2.27	-27.09 *
1 N	63 27.53	10 54.06	322V	594733	7038549	6.3	982140.590	22.41	4.04	-37.84 *
100N	63 27.59	10 54.05	322V	594764	7038350	3.7	982141.450	4.04	4.2	-37.60 *
150N	63 27.61	10 54.04	322V	594756	7038400	2.9	982141.430	0.03	0.09	-37.77 *
200N	63 27.64	10 54.03	322V	594748	7038449	2.6	982141.360	0.02	0.08	-37.86 *
250N	63 27.67	10 54.02	322V	594741	7038499	1.0	982141.230	0.03	0.03	-38.00 *
300N	63 27.70	10 54.01	322V	594735	7038549	0.2	982140.800	0.01	0.01	-38.45 *
350N	63 27.72	10 54.01	322V	594725	7038598	3.7	982140.910	0.02	0.07	-38.66 *
400N	63 27.75	10 54.00	322V	594718	7038648	3.7	982140.670	0.04	0.04	-38.77 *
450N	63 27.78	10 53.99	322V	594711	7038698	6.1	982140.560	0.07	0.07	-38.86 *
500N	63 27.83	10 53.98	322V	594703	7038749	6.5	982140.430	0.07	0.07	-38.80 *
550N	63 27.86	10 53.97	322V	594693	7038797	6.5	982140.410	0.07	0.07	-38.99 *
600N	63 27.88	10 53.97	322V	594688	7038846	9.6	982140.380	0.11	0.11	-38.98 *
650N	63 27.88	10 53.97	322V	594681	7038895	8.9	982140.440	0.13	0.13	-38.93 *
700N	63 27.91	10 53.96	322V	594674	7038945	1.17	982140.530	1.3	1.37	-38.78 *
750N	63 27.94	10 53.96	322V	594667	7038995	1.17	982140.750	1.3	1.37	-38.69 *
800N	63 27.96	10 53.94	322V	594656	7039044	2.23	982140.800	2.25	2.25	-38.43 *
850N	63 27.99	10 53.94	322V	594649	7039092	2.23	982141.120	2.25	2.25	-38.98 *
900N	63 28.02	10 53.93	322V	594642	7039142	1.13	982141.530	1.13	1.13	-38.78 *
950N	63 28.04	10 53.93	322V	594633	7039193	1.18	982141.690	1.21	1.21	-37.42 *
1000N	63 28.07	10 53.91	322V	594626	7039242	1.57	982142.570	1.18	1.18	-36.90 *
1050N	63 28.10	10 53.91	322V	594617	7039291	1.30	982143.070	1.15	1.15	-36.46 *
1100N	63 28.12	10 53.90	322V	594611	7039341	1.32	982143.540	1.15	1.15	-35.98 *
1150N	63 28.15	10 53.92	322V	594618	7039389	1.32	982144.000	1.04	1.04	-35.64 *
1200N	63 28.18	10 53.91	322V	594619	7039439	1.32	982144.570	0.02	0.02	-35.29 *
1225N	63 28.19	10 53.91	322V	594611	7039514	1.32	982144.640	0.01	0.01	-35.23 *
1300N	63 28.35	10 53.83	322V	594611	7039809	1.75	982145.950	2.0	2.0	-34.27 *
1350N	63 28.38	10 53.83	322V	594532	7039859	1.77	982145.700	2.0	2.0	-34.03 *
1400N	63 27.51	10 54.04	322V	594575	7038253	3.68	982140.390	4.2	4.2	-38.04 *
1450N	63 27.48	10 54.02	322V	594472	7038206	4.41	982140.090	5.0	5.0	-38.07 *
1500N	63 27.46	10 54.00	322V	594726	7038158	4.13	982139.980	4.7	4.7	-38.23 *
1500S	63 27.43	10 53.98	322V	594611	7038160	3.90	982140.090	4.4	4.4	-38.16 *
1505S	63 27.41	10 53.96	322V	594698	7038060	3.54	982140.080	4.0	4.0	-38.09 *
1505S	63 27.38	10 53.95	322V	594685	7038013	3.75	982139.990	4.2	4.2	-38.12 *
1505S	63 27.35	10 53.93	322V	594672	7037964	3.82	982139.920	4.3	4.3	-38.16 *
1505S	63 27.33	10 53.91	322V	594661	7037916	3.81	982139.760	4.3	4.3	-38.18 *
1505S	63 27.30	10 53.90	322V	594648	7037867	3.74	982139.710	4.2	4.2	-38.15 *
1505S	63 27.28	10 53.88	322V	594635	7037819	3.74	982139.690	4.2	4.2	-38.12 *
1505S	63 27.25	10 53.86	322V	594623	7037770	3.62	982139.750	4.1	4.1	-38.29 *
1505S	63 27.23	10 53.85	322V	594610	7037722	3.86	982139.780	4.4	4.4	-38.21 *
1505S	63 27.20	10 53.83	322V	594598	7037673	3.74	982139.960	4.2	4.2	-38.19 *
1505S	63 27.17	10 53.81	322V	594586	7037625	3.54	982140.150	4.0	4.3	-37.52 *
1505S	63 27.15	10 53.80	322V	594573	7037577	3.38	982140.410	1.04	1.04	-37.60 *
1505S	63 27.13	10 53.80	322V	594561	7037525	3.2	982140.455	1.04	1.04	-37.52 *

Sted : STJORDAL

Oppdragsnr. : 2243 Malingene utført i 1985

Beregningene utført i MAR 1986

Stasjon Profil punkt	Bredde- grad	Lengde- grad	UTM- sone	UTM- ist	UTM- nord	Høyde (i m)	Observert tyngde	Bouguer- korr.	Frilufts- korr.	Bouguer- anomali
800S	63 27.12	10 53.77	32V	594556	7037528	1.83	982141.090	.21	.46	-37.13
850S	63 27.10	10 53.75	32V	594537	7037481	1.53	982141.460	.17	.49	-36.79
900S	63 27.07	10 53.73	32V	594522	7037434	1.06	982141.790	.12	.50	-36.54
925S	63 26.96	10 53.71	32V	594507	7037415	.32	982141.970	.04	.51	-36.37
11500S	63 26.95	10 53.66	32V	594466	7037199	.29	982142.750	.03	.51	-35.43
12000S	63 26.92	10 53.63	32V	594446	7037153	.42	982142.080	.39	.55	-35.49
12500S	63 26.90	10 53.60	32V	594427	7037107	.96	982142.360	.34	.58	-35.27
13000S	63 26.87	10 53.58	32V	594407	7037060	2.91	982142.590	.33	.59	-35.04
13500S	63 26.85	10 53.55	32V	594387	7037015	3.01	982143.060	.34	.61	-34.68
14000S	63 26.82	10 53.53	32V	594365	7036969	3.20	982143.760	.36	.68	-34.30
14500S	63 26.80	10 53.50	32V	594343	7036923	3.21	982143.370	.36	.78	-33.89
15000S	63 26.78	10 53.46	32V	594317	7036881	3.47	982143.930	.28	.87	-33.38
15500S	63 26.76	10 53.43	32V	594288	7036841	3.43	982144.140	.39	.95	-32.90
16000S	63 26.73	10 53.40	32V	594263	7036798	2.54	982144.940	.29	.47	-32.01
16500S	63 26.72	10 53.34	32V	594223	7036772	3.38	982145.120	.38	.61	-31.60
1710S	63 26.69	10 53.33	32V	594214	7036712	3.80	982145.230	.43	.68	-30.99
171N	63 26.78	10 53.46	32V	596178	7036399	10.92	982139.160	1.24	.45	-30.42
50N	63 26.76	10 53.43	32V	596180	7039449	10.97	982139.360	.87	.45	-30.35
100N	63 26.73	10 53.40	32V	596180	7039499	10.56	982139.600	1.20	.47	-30.26
150N	63 26.72	10 53.34	32V	596178	7039550	10.79	982139.760	1.22	.47	-30.17
200N	63 26.69	10 53.33	32V	596179	7039602	10.51	982139.920	1.19	.47	-30.14
250N	63 26.67	10 53.29	32V	596178	7039650	10.74	982139.970	1.20	.47	-30.11
300N	63 26.65	10 53.24	32V	596178	7039700	10.58	982140.020	1.18	.49	-30.06
350N	63 26.62	10 53.18	32V	596180	7039747	10.44	982140.100	1.18	.48	-30.01
400N	63 26.58	10 53.08	32V	596182	7039797	10.27	982140.200	1.16	.50	-29.95
450N	63 26.55	10 53.00	32V	596187	7039849	10.44	982140.310	1.19	.52	-29.88
500N	63 26.52	10 53.01	32V	596181	7039899	10.47	982140.390	1.19	.51	-29.83
550N	63 26.48	10 53.01	32V	596181	7039951	10.38	982140.420	1.18	.51	-29.78
600N	63 26.43	10 53.01	32V	596189	7040000	10.49	982140.540	1.19	.51	-29.73
650N	63 26.45	10 53.03	32V	596189	7040051	10.46	982140.650	1.18	.53	-29.64
700N	63 26.32	10 53.02	32V	596189	7040100	10.41	982140.730	1.17	.54	-29.56
750N	63 26.34	10 53.02	32V	596189	7040152	10.33	982140.760	1.17	.56	-29.50
800N	63 26.30	10 53.03	32V	596188	7040201	10.36	982140.840	1.17	.56	-29.45
850N	63 26.29	10 53.03	32V	596188	7040250	10.35	982140.960	1.17	.60	-29.40
900N	63 26.28	10 53.03	32V	596189	7040301	10.23	982141.410	1.16	.64	-29.35
950N	63 26.28	10 53.03	32V	596190	7040351	10.36	982141.550	1.17	.66	-29.30
1000N	63 26.28	10 53.03	32V	596190	7040401	10.65	982141.680	1.21	.69	-29.26
1050N	63 26.28	10 53.03	32V	596188	7040451	10.35	982141.740	1.17	.71	-29.22
1100N	63 26.28	10 53.03	32V	596189	7040501	10.25	982141.700	1.16	.75	-29.17
1150N	63 26.28	10 53.03	32V	596189	7040551	9.87	982141.920	1.12	.79	-29.11
1200N	63 26.28	10 53.03	32V	596187	7040602	9.01	982142.340	1.02	.86	-29.09
1250N	63 26.28	10 53.03	32V	596186	7040653	10.81	982142.460	1.22	.87	-29.05
1300N	63 26.28	10 53.03	32V	596194	7040701	11.46	982142.460	1.22	.87	-29.01
1350N	63 26.28	10 53.03	32V	596176	7040743	11.69	982141.740	1.22	.91	-28.96
1400N	63 26.28	10 53.03	32V	596147	7040783	11.67	982141.240	1.25	.94	-28.91
150S	63 26.08	10 53.03	32V	596186	7039350	11.00	982139.010	1.25	.45	-30.56
100S	63 26.05	10 53.03	32V	596187	7039305	11.11	982138.820	1.26	.44	-30.52
150S	63 26.03	10 53.03	32V	596152	7039258	11.44	982138.700	1.30	.41	-30.50
200S	63 26.00	10 53.03	32V	596147	7039207	11.36	982138.440	1.29	.40	-30.49
250S	63 26.97	10 53.03	32V	596145	7039155	11.36	982138.440	1.29	.40	-30.45

Oppdragsnr. : 2243 M)lingene utført i 1985 Beregningene utført i MAR 1986

Stasjon Profil punkt	Breddegrad	Lengdegrad	UTM-sone	UTM-1st	UTM-nord	Hylde (i m)	Observeret tyngde	Bouguer korrig.	Frilufts-korr.	Bouguer anomali
300S	63 27 95	10 55 71	32V	596119	7039111	11.46	9.82138 410	1.30	.39	-39.01
350S	63 27 93	10 55 68	32V	596091	7039069	11.48	9.82138 440	1.30	.39	-38.97
400S	63 27 92	10 55 62	32V	596047	7039047	11.07	9.82138 520	1.25	.40	-38.96
450S	63 27 89	10 55 60	32V	596029	7039002	11.05	9.82138 430	1.25	.39	-38.94
500S	63 27 86	10 55 60	32V	596029	7038952	11.64	9.82138 280	1.32	.39	-38.97
550S	63 27 84	10 55 60	32V	596031	7038903	11.91	9.82138 290	1.35	.40	-38.90
600S	63 27 81	10 55 60	32V	596034	7038853	11.97	9.82138 530	1.36	.40	-38.65
650S	63 27 78	10 55 60	32V	596033	7038803	11.94	9.82138 760	1.35	.41	-38.29
700S	63 27 76	10 55 60	32V	596035	7038752	11.96	9.82138 990	1.36	.40	-38.07
750S	63 27 73	10 55 60	32V	596035	7038702	11.95	9.82138 200	1.35	.39	-37.66
800S	63 27 70	10 55 60	32V	596039	7038652	12.08	9.82139 380	1.37	.40	-37.44
850S	63 27 68	10 55 60	32V	596039	7038603	12.13	9.82139 470	1.37	.39	-37.40
900S	63 27 65	10 55 60	32V	596040	7038553	12.21	9.82139 500	1.38	.39	-37.35
950S	63 27 62	10 55 60	32V	596042	7038502	12.22	9.82139 470	1.39	.39	-37.37
1000S	63 27 60	10 55 60	32V	596043	7038453	12.26	9.82139 500	1.39	.39	-37.39
1050S	63 27 57	10 55 60	32V	596045	7038404	12.22	9.82139 490	1.38	.40	-37.42
1100S	63 27 54	10 55 60	32V	596046	7038354	12.18	9.82139 420	1.37	.39	-37.40
1150S	63 27 52	10 55 60	32V	596047	7038304	12.10	9.82139 360	1.38	.39	-37.44
1200S	63 27 49	10 55 60	32V	596050	7038253	12.14	9.82139 130	1.38	.38	-37.73
1250S	63 27 46	10 55 60	32V	596052	7038203	12.05	9.82138 960	1.37	.37	-37.87
1300S	63 27 43	10 55 60	32V	596053	7038153	11.74	9.82138 880	1.33	.38	-38.10
1350S	63 27 41	10 55 60	32V	596055	7038101	11.77	9.82138 650	1.33	.37	-38.39
1400S	63 27 38	10 55 60	32V	596055	7038053	11.85	9.82138 340	1.34	.37	-38.35
1450S	63 27 35	10 55 60	32V	596057	7038001	11.91	9.82138 290	1.34	.37	-38.43
1500S	63 27 33	10 55 60	32V	596058	7037951	12.01	9.82138 130	1.33	.38	-38.32
1550S	63 27 30	10 55 60	32V	596059	7037902	12.03	9.82138 100	1.33	.38	-38.31
1600S	63 27 27	10 55 60	32V	596059	7037851	11.85	9.82138 140	1.34	.38	-38.23
1650S	63 27 24	10 55 59	32V	596061	7037801	11.84	9.82138 220	1.34	.38	-38.07
1700S	63 27 22	10 55 59	32V	596063	7037751	12.41	9.82138 260	1.38	.38	-37.79
1800S	63 27 19	10 55 61	32V	596076	70377653	12.42	9.82138 400	1.41	.42	-37.64
1850S	63 27 17	10 55 60	32V	596104	70377610	12.03	9.82138 620	1.36	.39	-37.74
1900S	63 27 14	10 55 60	32V	596104	70377615	12.07	9.82138 870	1.37	.41	-37.72
1950S	63 27 12	10 55 60	32V	596114	70377519	11.64	9.82139 130	1.32	.47	-37.17
2000S	63 26 09	10 55 60	32V	596116	7037704	1.49	9.82143 070	1.06	.05	-35.31
2050S	63 26 07	10 55 60	32V	596116	70377037	1.04	9.82143 470	1.43	.47	-34.70
21N	63 27 61	10 57 79	32V	596111	70376977	1.43	9.82143 990	1.46	.58	-34.74
250N	63 27 64	10 57 82	32V	596115	70369278	1.32	9.82142 56	1.46	.54	-34.70
2800S	63 26 83	10 55 63	32V	596115	7036876	1.05	9.82143 080	1.10	.56	-33.00
2850S	63 26 80	10 55 63	32V	596105	70368733	1.04	9.82143 050	1.47	.53	-32.43
2900S	63 26 75	10 55 61	32V	596094	7036829	1.05	9.82143 150	1.43	.50	-33.90
3000S	63 26 72	10 55 60	32V	597867	7038544	1.63	9.82140 190	1.50	.50	-37.14
31N	63 27 61	10 57 79	32V	597844	7038589	1.26	9.82139 560	1.43	.54	-36.47
350N	63 27 64	10 57 84	32V	597900	7038637	1.27	9.82139 670	1.46	.50	-36.67
400N	63 27 69	10 57 86	32V	597918	7038685	1.21	9.82139 800	1.50	.51	-36.94
450N	63 27 72	10 57 88	32V	597937	7038733	1.25	9.82140 050	1.47	.52	-37.18
50N	63 27 64	10 57 95	32V	597944	7038778	1.23	9.82140 150	1.51	.53	-36.47
100N	63 27 69	10 57 86	32V	597944	7038826	1.23	9.82139 930	1.55	.54	-36.22
150N	63 27 72	10 57 88	32V	597944	7038873	1.23	9.82139 750	1.55	.55	-37.18
200N	63 27 74	10 57 91	32V	598006	70388919	1.26	9.82139 520	1.55	.55	-36.94
250N	63 27 77	10 57 93	32V	598023	7038966	1.23	9.82139 63	1.55	.55	-37.18
300N	63 27 79	10 57 95	32V	598023	70389919	1.26	9.82139 750	1.55	.55	-37.18
350N	63 27 81	10 58 00	32V	598023	7038966	1.23	9.82139 63	1.55	.55	-37.18
400N	63 27 84	10 58 00	32V	598023	70389919	1.26	9.82139 750	1.55	.55	-37.18
450N	63 27 84	10 58 00	32V	598023	7038966	1.23	9.82139 63	1.55	.55	-37.18

Sted : STJORDAL

Oppdragsnr. : 2243 M) Lingene utført 1. MAR 1985

* Stasjon Profil punkt	Bredde-grad	Lengde-grad	UTM-sone	UTM-nord	UTM-est	Høyde (1 m)	Observert tyngde	Hylde	Bouguer-korr.	Friluftskorr.	Bouguer-anomali	
500N	63 27.86	10 58.02	32V	598040	7039013	13.66	982139.290	1.55	-37.42	4.21		
550N	63 27.89	10 58.04	32V	598057	7039061	13.83	982139.070	1.57	-37.60	4.27		
600N	63 27.91	10 58.07	32V	598076	7039107	13.98	982138.900	1.58	-37.86	4.31		
650N	63 27.94	10 58.10	32V	598102	7039153	13.96	982138.840	1.58	-37.91	4.37		
708N	63 27.97	10 58.13	32V	598124	7039206	13.91	982139.820	1.06	-37.78	2.87		
756N	63 28.00	10 58.19	32V	598171	7039270	6.72	982140.480	.76	-37.60	2.07		
800N	63 28.02	10 58.21	32V	598188	7039309	7.50	982140.400	.85	-37.59	2.31		
850N	63 28.04	10 58.24	32V	598214	7039353	8.35	982140.270	1.00	-37.49	2.73		
900N	63 28.07	10 58.27	32V	598237	7039397	10.35	982140.090	1.17	-37.33	3.19		
950N	63 28.09	10 58.30	32V	598262	7039441	10.46	982138.870	1.87	-37.40	5.08		
1000N	63 28.12	10 58.33	32V	598281	7039487	24.13	982137.440	2.73	-37.48	8.40		
1050N	63 28.14	10 58.35	32V	598296	7039535	26.26	982137.220	2.98	-37.28	10.10		
1100N	63 28.17	10 58.37	32V	598312	7039581	26.38	982137.450	2.99	-36.98	13.60		
1150N	63 28.19	10 58.39	32V	598329	7039627	27.32	982137.640	2.99	-36.74	13.77		
1200N	63 28.22	10 58.37	32V	598313	7039675	27.77	982137.660	3.07	-36.72	8.36		
1250N	63 28.24	10 58.34	32V	598283	7039719	29.31	982137.270	3.32	-36.66	9.04		
1300N	63 28.25	10 58.28	32V	598235	7039737	31.50	982136.640	3.57	-36.84	10.09		
1350N	63 28.28	10 58.22	32V	598188	7039752	32.71	982136.340	3.71	-36.52	10.37		
1400N	63 28.29	10 58.19	32V	598182	7039793	33.63	982136.510	3.81	-36.05	10.63		
1450N	63 28.30	10 58.19	32V	598217	7039830	34.47	982136.810	3.91	-36.50	10.95		
1500N	63 28.32	10 58.30	32V	598251	7039868	35.52	982136.950	4.02	-35.83	11.45		
1550N	63 28.34	10 58.25	32V	598286	7039908	40.95	982136.480	4.64	-35.45	12.63		
1600N	63 28.37	10 58.22	32V	598286	7039956	41.31	982139.220	3.39	-37.54	3.80		
1650N	63 28.39	10 58.22	32V	597849	7039946	12.02	982139.050	1.36	-37.65	3.64		
1700S	63 27.57	10 57.75	32V	597832	7038450	11.81	982138.800	1.34	-37.94	3.81		
1750S	63 27.54	10 57.70	32V	597814	7038403	11.81	982138.650	1.29	-35.10	3.50		
2000S	63 27.52	10 57.68	32V	597795	7038356	11.35	982138.460	4.96	-38.38	3.80		
2500S	63 27.49	10 57.66	32V	597776	7038310	11.38	982138.500	1.18	-38.42	3.88		
3000S	63 27.47	10 57.66	32V	597762	7038263	10.40	982138.560	1.07	-38.54	3.88		
3500S	63 27.44	10 57.63	32V	597743	7038216	8.77	982138.590	1.09	-38.63	3.80		
4000S	63 27.42	10 57.59	32V	597727	7038168	8.13	982138.660	.92	-38.70	3.88		
4500S	63 27.39	10 57.57	32V	597709	7038123	7.10	982138.800	.80	-38.62	3.88		
5000S	63 27.37	10 57.57	32V	597693	7038075	7.06	982138.770	.88	-38.67	3.88		
5500S	63 27.34	10 57.54	32V	597673	7038028	7.74	982138.640	.47	-38.71	3.97		
6000S	63 27.32	10 57.52	32V	597654	7037981	11.49	982137.890	1.30	-38.61	3.96		
6500S	63 27.29	10 57.49	32V	597636	7037934	12.87	982137.590	1.46	-38.50	3.97		
7000S	63 27.27	10 57.47	32V	597620	7037886	12.83	982137.690	1.45	-38.48	2.18		
7500S	63 27.24	10 57.45	32V	597604	7037839	12.84	982137.940	1.46	-38.38	3.94		
8000S	63 27.21	10 57.43	32V	597589	7037790	12.51	982137.940	1.42	-38.31	3.86		
8500S	63 27.19	10 57.41	32V	597573	7037742	12.87	982138.100	1.44	-38.20	3.98		
9000S	63 27.16	10 57.30	32V	597569	7037693	12.69	982138.230	1.46	-38.83	3.91		
9500S	63 27.14	10 57.39	32V	597556	7037645	12.87	982140.800	1.10	-35.49	1.48		
1000S	63 27.11	10 57.39	32V	597563	7037594	.90	982140.820	.09	-35.32	1.62		
1672S	63 27.05	10 57.30	32V	597492	7037485	.83	982141.550	.55	-34.79	1.87		
1700S	63 27.04	10 57.31	32V	597489	7037455	3.19	982141.780	.54	-35.20	2.10		
1800S	63 26.98	10 57.32	32V	597503	7037409	3.89	982141.960	.53	-35.83	1.20		
1850S	63 26.97	10 57.33	32V	597511	7037357	4.79	982142.030	.53	-35.49	1.48		
1900S	63 26.94	10 57.36	32V	597552	7037286	6.05	982142.280	.69	-34.28	1.77		
3	1950S	63 26.92	10 57.36	32V	597548	7037242	6.82	982142.610	.54	-34.79	1.87	
3	1900S	63 26.92	10 57.36	32V	597522	7037286	6.77	982142.610	.57	-34.28	2.10	

Sted : STJORDAL

Oppdragsnr. : 2243 Mjøringene utført i 1985 Beregningene utført i MAR 1986

Stasjon Profil Punkt	Bredde- grad	Lengde- grad	UTM-sone	UTM-1st	UTM-nord	Høyde (i m)	Observert tyngde	Bouguer-korr.	Friluftskorr.	Bouguer-anomali
2000S	63 26.90	10 57.33	32V	597526	7037198	7.48	982142.950	.85	.56	-33.82
2050S	63 26.87	10 57.30	32V	597502	7037154	8.19	982143.200	.93	.56	-33.43
2100S	63 26.84	10 57.26	32V	597468	7037090	7.94	982144.240	.90	.58	-32.29
2150N	63 26.90	10 59.67	32V	597470	7037257	7.78	982145.510	.09	1.24	-31.55
100N	63 26.94	10 59.60	32V	599411	7037330	4.09	982143.780	.46	1.04	-33.17
150N	63 26.96	10 59.56	32V	599374	7037368	6.64	982142.940	.75	2.05	-33.57
200N	63 26.97	10 59.51	32V	599328	7037386	7.38	982142.580	.84	2.28	-33.99
250N	63 26.98	10 59.45	32V	599281	7037401	8.17	982142.250	.93	2.52	-34.23
300N	63 26.99	10 59.39	32V	599233	7037417	8.40	982142.030	.95	2.59	-34.44
350N	63 27.00	10 59.34	32V	599184	7037435	8.67	982141.830	.98	2.67	-34.61
400N	63 27.02	10 59.32	32V	599166	7037478	8.83	982141.600	.00	2.72	-34.84
450N	63 27.05	10 59.33	32V	599177	7037527	9.30	982141.280	.05	2.87	-35.08
500N	63 27.07	10 59.35	32V	599189	7037577	9.97	982140.980	.74	2.95	-35.49
550N	63 27.10	10 59.35	32V	599193	7037626	9.69	982140.710	.70	2.99	-35.75
600N	63 27.13	10 59.36	32V	599198	7037676	9.87	982140.460	.66	3.04	-36.00
650N	63 27.15	10 59.37	32V	599203	7037726	9.91	982140.280	.06	3.06	-36.18
700N	63 27.18	10 59.38	32V	599212	7037776	9.89	982140.130	.65	3.05	-36.47
750N	63 27.21	10 59.39	32V	599221	7037824	9.91	982140.030	.11	2.99	-36.59
800N	63 27.23	10 59.40	32V	599227	7037875	9.57	982140.710	.65	2.57	-36.68
850N	63 27.26	10 59.42	32V	599236	7037923	8.32	982140.170	.66	2.57	-36.71
900N	63 27.29	10 59.42	32V	599238	7037975	3.90	982141.090	.44	1.20	-36.75
950N	63 27.31	10 59.43	32V	599243	7038025	3.05	982141.330	.69	1.94	-36.80
1000N	63 27.34	10 59.44	32V	599247	7038075	3.14	982141.370	.35	1.08	-36.84
1050N	63 27.37	10 59.44	32V	599251	7038124	3.79	982139.960	.65	1.08	-36.88
1100N	63 27.39	10 59.45	32V	599256	7038175	4.37	982140.710	.50	1.17	-36.90
1150N	63 27.42	10 59.46	32V	599260	7038224	4.19	982141.180	.47	1.35	-36.94
1200N	63 27.45	10 59.46	32V	599265	7038274	4.40	982141.180	.50	1.36	-36.97
1250N	63 27.47	10 59.47	32V	599270	7038324	4.99	982141.050	.57	1.36	-36.98
1300N	63 27.50	10 59.48	32V	599276	7038374	5.27	982141.020	.60	1.36	-36.99
1350N	63 27.53	10 59.49	32V	599282	7038423	5.47	982141.070	.62	1.36	-36.99
1400N	63 27.55	10 59.50	32V	599288	7038473	5.95	982141.130	.65	1.36	-36.99
1450N	63 27.58	10 59.51	32V	599293	7038522	6.09	982141.290	.67	1.36	-36.99
1500N	63 27.61	10 59.52	32V	599299	7038573	5.47	982141.940	.62	1.34	-36.99
1550N	63 27.63	10 59.52	32V	599297	7038624	5.04	982142.230	.57	1.34	-36.99
1600N	63 27.66	10 59.51	32V	599293	7038675	4.20	982142.280	.48	1.34	-36.99
1650N	63 27.69	10 59.50	32V	599280	7038722	6.21	982141.350	.70	1.34	-36.99
1750N	63 27.72	10 59.53	32V	599277	7038778	5.33	982143.950	.60	1.64	-36.99
1800N	63 27.74	10 59.51	32V	599276	7037566	1.73	982145.820	.20	1.20	-36.99
1850N	63 27.77	10 59.51	32V	600576	7037615	4.98	982144.900	.54	1.20	-36.99
1900N	63 27.80	10 59.51	32V	600559	7037662	5.04	982144.620	.55	1.22	-36.99
1950N	63 27.83	10 59.51	32V	600526	7037709	4.87	982144.350	.55	1.22	-36.99
2000N	63 27.86	10 59.51	32V	600504	7037752	5.33	982143.950	.60	1.64	-36.99
2050N	63 27.89	10 59.51	32V	600483	7037796	5.17	982143.610	.59	1.59	-36.99
2100N	63 27.92	10 59.51	32V	600474	7037846	5.12	982143.180	.58	1.58	-36.99
2150N	63 27.95	10 59.51	32V	600464	7037895	5.05	982142.650	.57	1.56	-36.99
2200N	63 27.98	10 59.51	32V	600455	7037945	5.08	982142.060	.58	1.57	-36.99
2250N	63 28.01	10 59.51	32V	600446	7037995	4.74	982141.620	.54	1.46	-36.99
2300N	63 28.04	10 59.51	32V	600439	7038043	4.28	982141.220	.49	1.32	-36.99
2350N	63 28.07	10 59.51	32V	600433	7038093	4.21	982140.850	.47	1.27	-36.99
2400N	63 28.10	10 59.51	32V	600425	7038142	4.13	982140.580	.47	1.27	-36.99
2450N	63 28.13	10 59.51	32V	600413	7038193	4.03	982140.350	.47	1.27	-36.99
2500N	63 28.16	10 59.51	32V	600405	7038250	3.93	982140.120	.47	1.27	-36.99
2550N	63 28.19	10 59.51	32V	600397	7038307	3.83	982140.050	.47	1.27	-36.99
2600N	63 28.22	10 59.51	32V	600389	7038364	3.73	982140.020	.47	1.27	-36.99
2650N	63 28.25	10 59.51	32V	600381	7038421	3.63	982140.010	.47	1.27	-36.99
2700N	63 28.28	10 59.51	32V	600373	7038478	3.53	982140.010	.47	1.27	-36.99
2750N	63 28.31	10 59.51	32V	600365	7038535	3.43	982140.010	.47	1.27	-36.99
2800N	63 28.34	10 59.51	32V	600357	7038592	3.33	982140.010	.47	1.27	-36.99
2850N	63 28.37	10 59.51	32V	600349	7038649	3.23	982140.010	.47	1.27	-36.99
2900N	63 28.40	10 59.51	32V	600341	7038706	3.13	982140.010	.47	1.27	-36.99
2950N	63 28.43	10 59.51	32V	600333	7038763	3.03	982140.010	.47	1.27	-36.99
3000N	63 28.46	10 59.51	32V	600325	7038820	2.93	982140.010	.47	1.27	-36.99
3050N	63 28.49	10 59.51	32V	600317	7038877	2.83	982140.010	.47	1.27	-36.99
3100N	63 28.52	10 59.51	32V	600309	7038934	2.73	982140.010	.47	1.27	-36.99
3150N	63 28.55	10 59.51	32V	600301	7038991	2.63	982140.010	.47	1.27	-36.99
3200N	63 28.58	10 59.51	32V	600293	7039048	2.53	982140.010	.47	1.27	-36.99
3250N	63 28.61	10 59.51	32V	600285	7039105	2.43	982140.010	.47	1.27	-36.99
3300N	63 28.64	10 59.51	32V	600277	7039162	2.33	982140.010	.47	1.27	-36.99
3350N	63 28.67	10 59.51	32V	600269	7039219	2.23	982140.010	.47	1.27	-36.99
3400N	63 28.70	10 59.51	32V	600261	7039276	2.13	982140.010	.47	1.27	-36.99
3450N	63 28.73	10 59.51	32V	600253	7039333	2.03	982140.010	.47	1.27	-36.99
3500N	63 28.76	10 59.51	32V	600245	7039390	1.93	982140.010	.47	1.27	-36.99
3550N	63 28.79	10 59.51	32V	600237	7039447	1.83	982140.010	.47	1.27	-36.99
3600N	63 28.82	10 59.51	32V	600229	7039504	1.73	982140.010	.47	1.27	-36.99
3650N	63 28.85	10 59.51	32V	600221	7039561	1.63	982140.010	.47	1.27	-36.99
3700N	63 28.88	10 59.51	32V	600213	7039618	1.53	982140.010	.47	1.27	-36.99
3750N	63 28.91	10 59.51	32V	600205	7039675	1.43	982140.010	.47	1.27	-36.99
3800N	63 28.94	10 59.51	32V	600197	7039732	1.33	982140.010	.47	1.27	-36.99
3850N	63 28.97	10 59.51	32V	600189	7039789	1.23	982140.010	.47	1.27	-36.99
3900N	63 29.00	10 59.51	32V	600181	7039846	1.13	982140.010	.47	1.27	-36.99
3950N	63 29.03	10 59.51	32V	600173	7039893	1.03	982140.010	.47	1.27	-36.99
4000N	63 29.06	10 59.51	32V	600165	7039950	0.93	982140.010	.47	1.27	-36.99
4050N	63 29.09	10 59.51	32V	600157	7040007	0.83	982140.010	.47	1.27	-36.99
4100N	63 29.12	10 59.51	32V	600149	7040064	0.73	982140.010	.47	1.27	-36.99
4150N	63 29.15	10 59.51	32V	600141	7040121	0.63	982140.010	.47	1.27	-36.99
4200N	63 29.18	10 59.51	32V	600133	7040178	0.53	982140.010	.47	1.27	-36.99
4250N	63 29.21	10 59.51	32V	600125	7040235	0.43	982140.010	.47	1.27	-36.99
4300N	63 29.24	10 59.51	32V	600117	7040292	0.33	9			

Oppdragsnr. : 2243  
Sted : STJØRDAL

Mjøllingene utflyttet i 1985 Beregningene utflyttet i MAR 1986

* * Station	* Bredde- grad	* Lengde- grad	* UTM- sone	* UTM- ist	* UTM- nord	* Bouguer- anomali	* Bouguer- Bouguer- Bouguer- Bouguer-					
* Profil punkt							Friulfts - korr.	Friulfts - korr.	Tereng- korr.	Tereng- korr.	Bouguer- korr.	Bouguer- korr.
650N	63 27.38	11 1	32V	600417	7038192	3.18	982140	540	.85	.37	41	*
700N	63 27.41	11 1	32V	600411	7038240	2.99	982140	440	.85	-37	54	*
750N	63 27.44	11 1	32V	600403	7038290	3.34	982140	320	.89	-37	56	*
800N	63 27.46	11 1	32V	600383	7038338	5.55	982139	950	.87	-37	51	*
850N	63 27.49	11 1	32V	600363	7038385	5.55	982140	130	.90	-37	48	*
900N	63 27.54	11 1	32V	600340	7038430	5.14	982140	350	.93	-37	26	*
1000N	63 27.56	11 1	32V	600320	7038475	4.66	982140	750	.96	-36	92	*
1050N	63 27.59	11 1	32V	600304	7038522	3.70	982141	300	.00	-36	52	*
1100N	63 27.62	11 1	32V	600293	7038573	3.96	982141	960	.07	-36	04	*
1167N	63 27.64	11 1	32V	600286	7038623	4.20	982142	460	.07	-35	24	*
1505S	63 27.65	11 1	32V	600285	7038672	4.17	982143	060	.45	-34	22	*
1005S	63 27.70	01 1	32V	600542	7037499	2.44	982146	300	.28	-30	97	*
1501N	63 26.98	11 1	32V	600534	7037453	1.52	982144	640	.19	-31	11	*
50NN	63 27.35	11 1	32V	602598	7038198	8.59	982141	970	.97	-31	44	*
3347	63 27.37	11 1	32V	602600	7038244	8.38	982141	880	.59	-34	59	*
1000N	63 27.40	11 1	32V	602602	7038294	7.94	9982141	820	.95	-34	91	*
1500N	63 27.43	11 1	32V	602604	7038344	7.95	982141	670	.90	-34	08	*
2500N	63 27.48	11 1	32V	602606	7038395	7.05	982141	690	.80	-35	24	*
3000N	63 27.51	11 1	32V	602611	7038444	6.34	982141	780	.72	-35	31	*
3500N	63 27.53	11 1	32V	602614	7038494	7.02	982141	540	.80	-35	58	*
4000N	63 27.56	11 1	32V	602617	7038544	6.91	982141	550	.78	-35	60	*
4500N	63 27.59	11 1	32V	602618	7038594	6.98	982141	500	.79	-35	67	*
5000N	63 27.61	11 1	32V	602620	7038693	7.72	982142	190	.00	-35	82	*
5500N	63 27.66	11 1	32V	602616	7038769	4.51	982142	130	.00	-35	75	*
6000N	63 27.68	11 1	32V	602614	7038813	7.14	982141	830	.97	-35	51	*
6500N	63 27.71	11 1	32V	602599	7038861	7.07	982142	050	.00	-35	43	*
7000N	63 27.73	11 1	32V	602617	7038890	7.34	982142	190	.83	-35	26	*
7500N	63 27.76	11 1	32V	602570	7038959	7.14	982142	510	.81	-34	98	*
8000N	63 27.79	11 1	32V	602561	7039009	7.47	982142	710	.90	-34	72	*
8500N	63 27.81	11 1	32V	602553	7039058	7.25	982142	950	.85	-34	61	*
9000N	63 27.84	11 1	32V	602542	7039105	7.70	982143	110	.87	-34	37	*
9500N	63 27.87	11 1	32V	602531	7039156	8.21	982143	160	.93	-34	29	*
10000N	63 27.89	11 1	32V	602523	7039206	7.88	982143	370	.89	-34	14	*
10500N	63 27.91	11 1	32V	602506	7039251	7.25	982143	600	.82	-34	05	*
11000N	63 27.94	11 1	32V	602499	7039300	7.39	982143	720	.84	-34	95	*
11500N	63 27.97	11 1	32V	602489	7039351	10.07	982143	770	.84	-34	04	*
12000N	63 28.00	11 1	32V	602478	7039400	12.08	982143	180	.14	-34	08	*
12500N	63 28.02	11 1	32V	602481	7039448	11.93	982142	920	.137	-34	03	*
13000N	63 28.05	11 1	32V	602470	7039496	12.95	982142	720	.88	-34	00	*
13500N	63 28.08	11 1	32V	602449	7039544	14.22	982142	450	.93	-34	01	*
14000N	63 28.10	11 1	32V	602426	7039588	14.87	982142	340	.97	-34	15	*
14500N	63 28.12	11 1	32V	602404	7039632	16.13	982142	150	.91	-34	07	*
15000N	63 28.15	11 1	32V	602395	7039685	18.50	982141	720	.10	-34	07	*
1505S	63 27.32	11 1	32V	602595	7039732	8.45	982142	220	.96	-34	19	*
1005S	63 27.29	11 1	32V	602594	7038097	8.43	982142	450	.98	-34	01	*
1505S	63 27.24	11 1	32V	602592	7038046	9.00	982142	600	.78	-33	55	*
2005S	63 27.24	11 1	32V	602595	7037998	9.18	982142	740	.04	-33	33	*

Sted : STJORDAL

Oppdragsnr. : 2243

Mjøringene utført i 1985

Beregningene utført i MAR 1986

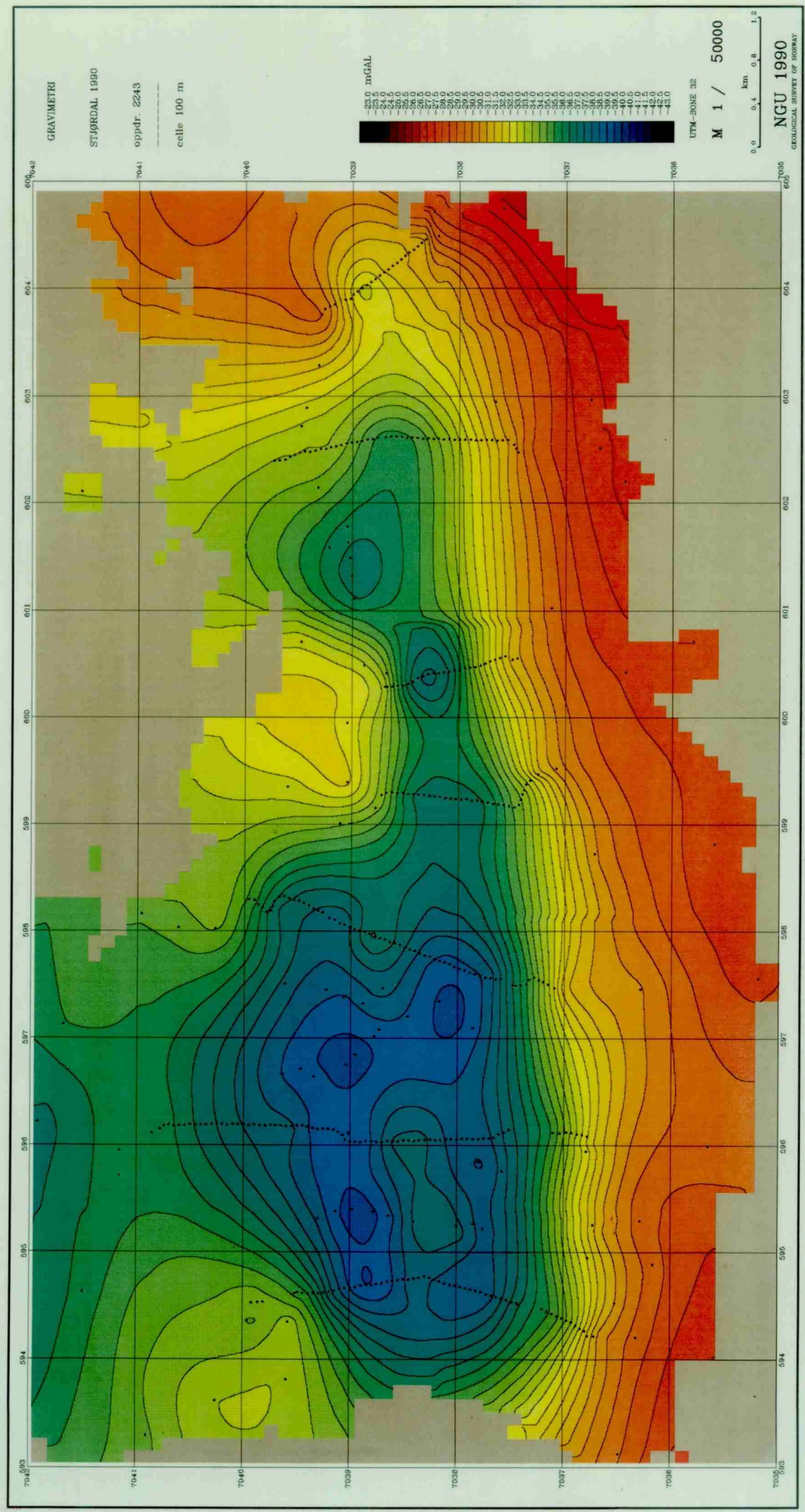
* Stasjon * Profil Punkt	* Bredder- grad	Lengde- grad	UTM- sone	UTM- ist	UTM- nord	H yde (i m)	Observeret tyngde	Bouguer- korr.	Friulufts- korr.	Bouguer- anomali	
*	250S	63	27.21	11	3.45	32V	602590	7037948	9.32	982142.890	1.06
*	300S	63	27.19	11	3.45	32V	602589	7037896	9.91	982143.030	1.12
*	350S	63	27.16	11	3.44	32V	602588	7037848	9.91	982143.240	1.12
*	400S	63	27.13	11	3.44	32V	602587	7037798	10.19	982143.340	1.15
*	450S	63	27.11	11	3.44	32V	602586	7037747	9.42	982143.690	1.07
*	500S	63	27.08	11	3.43	32V	602585	7037697	9.44	982143.790	1.07
*	550S	63	27.05	11	3.43	32V	602584	7037648	12.45	982142.260	1.88
*	600S	63	27.03	11	3.43	32V	602588	7037598	16.33	982142.570	1.97
*	650S	63	27.00	11	3.43	32V	602585	7037547	16.25	982142.640	1.84
*	700S	63	26.97	11	3.38	32V	602547	7037489	16.62	982142.640	1.88
*	750S	63	26.96	11	3.33	32V	602504	7037470	17.02	982142.650	1.93
*	800S	63	26.95	11	3.29	32V	602473	7037451	19.75	982142.070	2.24
*	7 1N	63	27.60	11	5.35	32V	604146	7038709	11.55	982144.180	2.31
*	63	27.62	11	5.32	32V	604117	7038750	11.74	982143.900	1.33	
*	63	27.64	11	5.28	32V	604087	7038791	12.29	982143.470	1.20	
*	63	27.66	11	5.25	32V	604057	7038830	13.16	982143.050	1.46	
*	63	27.69	11	5.22	32V	604029	7038873	13.91	982142.960	1.46	
*	63	27.71	11	5.18	32V	604001	7038913	12.53	982143.050	1.42	
*	50N	63	27.60	11	5.15	32V	603972	7038955	12.43	982143.180	1.41
*	100N	63	27.64	11	5.12	32V	603944	7038994	12.32	982143.390	1.39
*	150N	63	27.66	11	5.07	32V	603903	7039022	11.84	982143.720	1.34
*	200N	63	27.69	11	5.04	32V	603895	7039069	14.93	982145.510	1.56
*	250N	63	27.73	11	5.15	32V	603977	7039173	4.65	982146.500	1.19
*	300N	63	27.75	11	5.12	32V	603944	7039222	5.52	982147.030	1.27
*	350N	63	27.77	11	5.07	32V	603903	7039263	9.95	982146.560	1.22
*	400N	63	27.80	11	5.06	32V	603895	7039671	11.20	982144.370	1.32
*	450N	63	27.85	11	5.01	32V	603848	7039871	10.85	982144.400	1.23
*	500N	63	27.88	11	4.99	32V	603828	7039218	10.53	982144.360	1.19
*	550N	63	27.90	11	4.96	32V	603805	7039263	10.56	982144.280	1.20
*	600N	63	27.58	11	5.39	32V	604177	7038671	10.48	982144.220	1.19
*	650S	63	27.55	11	5.42	32V	604207	7038631	11.40	982144.060	1.25
*	700S	63	27.53	11	5.46	32V	604237	7038589	10.35	982144.120	1.29
*	750S	63	27.51	11	5.49	32V	604269	7038551	9.62	982144.300	1.09
*	800S	63	27.49	11	5.53	32V	604300	7038512	10.99	982144.060	1.45
*	850S	63	27.47	11	5.57	32V	604335	7038476	11.40	982143.910	1.76
*	900S	63	27.44	11	5.59	32V	604357	7038432	10.35	982144.150	2.00
*	950S	63	27.42	11	5.63	32V	604392	7038395	10.11	982144.170	1.17
*	100S	63	27.40	11	5.67	32V	604424	7038357	9.62	982144.300	1.15
*	105S	63	27.38	11	5.71	32V	604457	7038318	10.11	982144.170	1.15
*	110S	63	27.36	11	5.75	32V	604490	7038281	9.62	982144.300	1.15
*	115S	63	27.34	11	5.79	32V	604523	7038242	10.11	982144.300	1.15
*	120S	63	27.32	11	5.83	32V	604556	7038196	9.62	982144.300	1.15
*	125S	63	27.30	11	5.87	32V	604589	7038159	10.11	982144.300	1.15
*	130S	63	27.28	11	5.91	32V	604622	7038123	9.62	982144.300	1.15
*	135S	63	27.26	11	5.95	32V	604655	7038086	10.11	982144.300	1.15
*	140S	63	27.24	11	5.99	32V	604688	7038050	9.62	982144.300	1.15
*	145S	63	27.22	11	6.03	32V	604721	7037993	10.11	982144.300	1.15
*	150S	63	27.20	11	6.07	32V	604754	7037956	9.62	982144.300	1.15
*	155S	63	27.18	11	6.11	32V	604787	7037919	10.11	982144.300	1.15
*	160S	63	27.16	11	6.15	32V	604820	7037882	9.62	982144.300	1.15
*	165S	63	27.14	11	6.19	32V	604853	7037845	10.11	982144.300	1.15
*	170S	63	27.12	11	6.23	32V	604886	7037808	9.62	982144.300	1.15
*	175S	63	27.10	11	6.27	32V	604919	7037771	10.11	982144.300	1.15
*	180S	63	27.08	11	6.31	32V	604952	7037734	9.62	982144.300	1.15
*	185S	63	27.06	11	6.35	32V	604985	7037697	10.11	982144.300	1.15
*	190S	63	27.04	11	6.39	32V	605018	7037660	9.62	982144.300	1.15
*	195S	63	27.02	11	6.43	32V	605051	7037623	10.11	982144.300	1.15
*	200S	63	27.00	11	6.47	32V	605084	7037586	9.62	982144.300	1.15
*	205S	63	27.08	11	6.51	32V	605117	7037549	10.11	982144.300	1.15
*	210S	63	27.06	11	6.55	32V	605150	7037512	9.62	982144.300	1.15
*	215S	63	27.04	11	6.59	32V	605183	7037475	10.11	982144.300	1.15
*	220S	63	27.02	11	6.63	32V	605216	7037438	9.62	982144.300	1.15
*	225S	63	27.00	11	6.67	32V	605249	7037391	10.11	982144.300	1.15
*	230S	63	27.08	11	6.71	32V	605282	7037354	9.62	982144.300	1.15
*	235S	63	27.06	11	6.75	32V	605315	7037317	10.11	982144.300	1.15
*	240S	63	27.04	11	6.79	32V	605348	7037280	9.62	982144.300	1.15
*	245S	63	27.02	11	6.83	32V	605381	7037243	10.11	982144.300	1.15
*	250S	63	27.00	11	6.87	32V	605414	7037206	9.62	982144.300	1.15
*	255S	63	27.08	11	6.91	32V	605447	7037169	10.11	982144.300	1.15
*	260S	63	27.06	11	6.95	32V	605480	7037132	9.62	982144.300	1.15
*	265S	63	27.04	11	6.99	32V	605513	7037095	10.11	982144.300	1.15
*	270S	63	27.02	11	7.03	32V	605546	7037058	9.62	982144.300	1.15
*	275S	63	27.00	11	7.07	32V	605579	7037021	10.11	982144.300	1.15
*	280S	63	27.08	11	7.11	32V	605612	7036984	9.62	982144.300	1.15
*	285S	63	27.06	11	7.15	32V	605645	7036947	10.11	982144.300	1.15
*	290S	63	27.04	11	7.19	32V	605678	7036910	9.62	982144.300	1.15
*	295S	63	27.02	11	7.23	32V	605711	7036873	10.11	982144.300	1.15
*	300S	63	27.00	11	7.27	32V	605744	7036836	9.62	982144.300	1.15
*	305S	63	27.08	11	7.31	32V	605777	7036799	10.11	982144.300	1.15
*	310S	63	27.06	11	7.35	32V	605810	7036762	9.62	982144.300	1.15
*	315S	63	27.04	11	7.39	32V	605843	7036725	10.11	982144.300	1.15
*	320S	63	27.02	11	7.43	32V	605876	7036688	9.62	982144.300	1.15
*	325S	63	27.00	11	7.47	32V	605909	7036651	10.11	982144.300	1.15
*	330S	63	27.08	11	7.51	32V	605942	7036514	9.62	982144.300	1.15
*	335S	63	27.06	11	7.55	32V	605975	7036477	10.11	982144.300	1.15
*	340S	63	27.04	11	7.59	32V	606008	7036440	9.62	982144.300	1.15
*	345S	63	27.02	11	7.63	32V	606041	7036383	10.11	982144.300	1.15
*	350S	63	27.00	11	7.67	32V	606074	7036346	9.62	982144.300	1.15
*	355S	63	27.08	11	7.71	32V	606107	7036309	10.11	982144.300	1.15
*	360S	63	27.06	11	7.75	32V	606140	7036272	9.62	982144.300	1.15
*	365S	63	27.04	11	7.79	32V	606173	7036235	10.11	982144.300	1.15
*	370S	63	27.02	11	7.83	32V	606206				

Sted : STJØRDAL		Oppdragsnr. : 224386		Målingene utført i 1986		Beregningene utført i NOV 1989	
* Stasjon * Profil punkt	* Breddde- grad	* Lengde- grad	* UTM- sonen	* UTM- øst	* UTM- nord	* Hayde (i m)	* Observert : Bouguer- anomali
58	63 27.59	10 56.99	32	597200	7038468	10.00	982138.650
59	63 28.13	10 56.44	32	596715	7039468	9.21	982139.150
60	63 28.07	10 56.35	32	596645	7039345	9.76	982138.980
61	63 28.22	10 56.38	32	596655	7039635	10.43	982139.310
62	63 27.90	10 56.46	32	596745	7039045	13.82	982137.650
63	63 27.86	10 56.58	32	596848	7038960	12.69	982137.820
64	63 27.76	10 56.79	32	597023	7038782	8.34	982138.850
65	63 27.73	10 56.86	32	597085	7038732	10.16	982138.670
66	63 27.42	10 57.15	32	597342	7038172	8.56	982138.170
67	63 27.81	10 57.24	32	597322	7038882	10.86	982139.060
68	63 27.90	10 57.24	32	597390	7039064	10.79	982138.920
69	63 27.99	10 57.33	32	597458	7039228	11.25	982139.010
70	63 28.20	10 57.41	32	597512	7039618	10.00	982139.980
71	63 27.71	10 57.32	32	597465	7038702	11.85	982139.170
72	63 27.71	10 54.76	32	595345	7038643	12.20	982140.650
73	63 27.58	10 54.68	32	595282	7038405	13.13	982141.940
74	63 28.06	10 54.76	32	595320	7039302	-14	982141.570
75	63 27.97	10 54.82	32	595380	7039130	-90	982140.420
76	63 27.89	10 54.85	32	595405	7038980	-85	982140.120
77	63 27.79	10 54.80	32	595375	7038785	-90	982140.110
78	63 27.36	10 54.63	32	595255	7038000	-66	982141.470
79	63 27.29	10 54.64	32	595262	7037852	-65	982140.690
80	63 27.23	10 54.59	32	595228	7037755	-57	982140.460
						06	

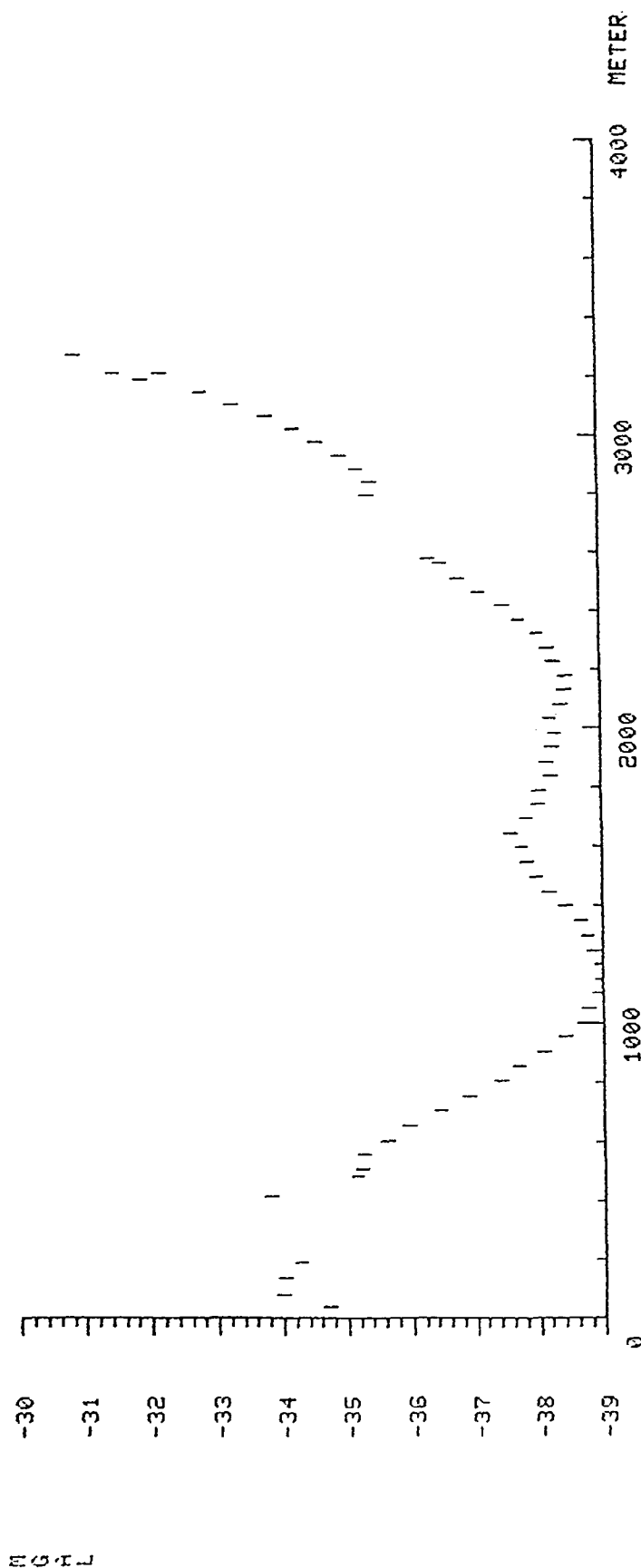
**Gravimetridata fra Stjørdal innsamlet 1985 og 1986**

Observeret tyngde er beregnet i IGSN71-systemet.

Standard-densititet  $2670 \text{ kg/m}^3$  er benyttet i Bouguer- og terrengkorrekjonene.



Databilag 2 - Farge/kote - kart over Bougueranomalier i Størdal



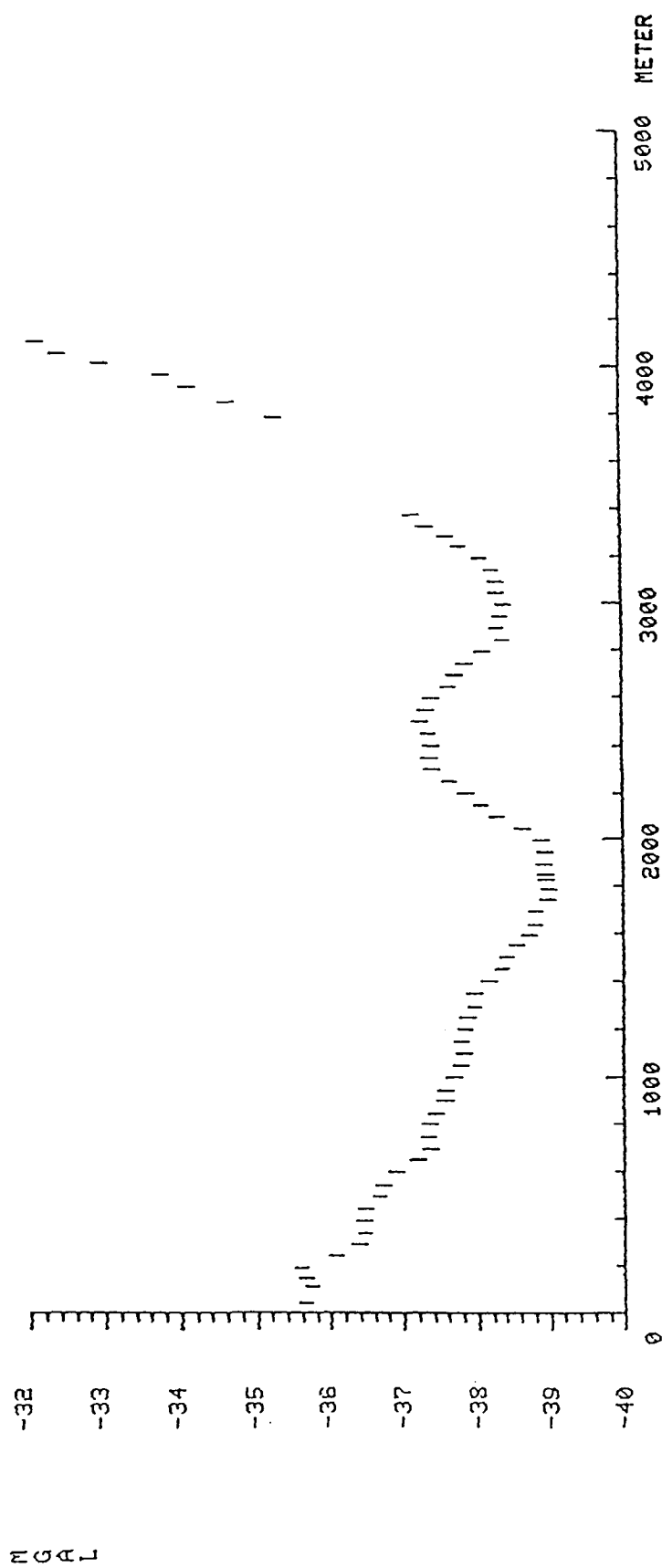
### Profil 1 - Bougueranomalier langs utplukksprofil

Startkoordinat for profil : UTM-øst = 594595 , UTM-nord = 7040000

Sluttkoordinat for profil : UTM-øst = 594600 , UTM-nord = 7036600

Søkebredde i profil : 800 m

Regionalanomali som skyldes berggrunnen er regnet  
å variere lineært langs profilet med valgt nivå :  
- 34.0 mGal i første utplukkspunkt i profilet og  
- 30.8 mGal i siste utplukkspunkt i profilet.



### Profil 2 - Bougueranomalier langs utplukksprofil

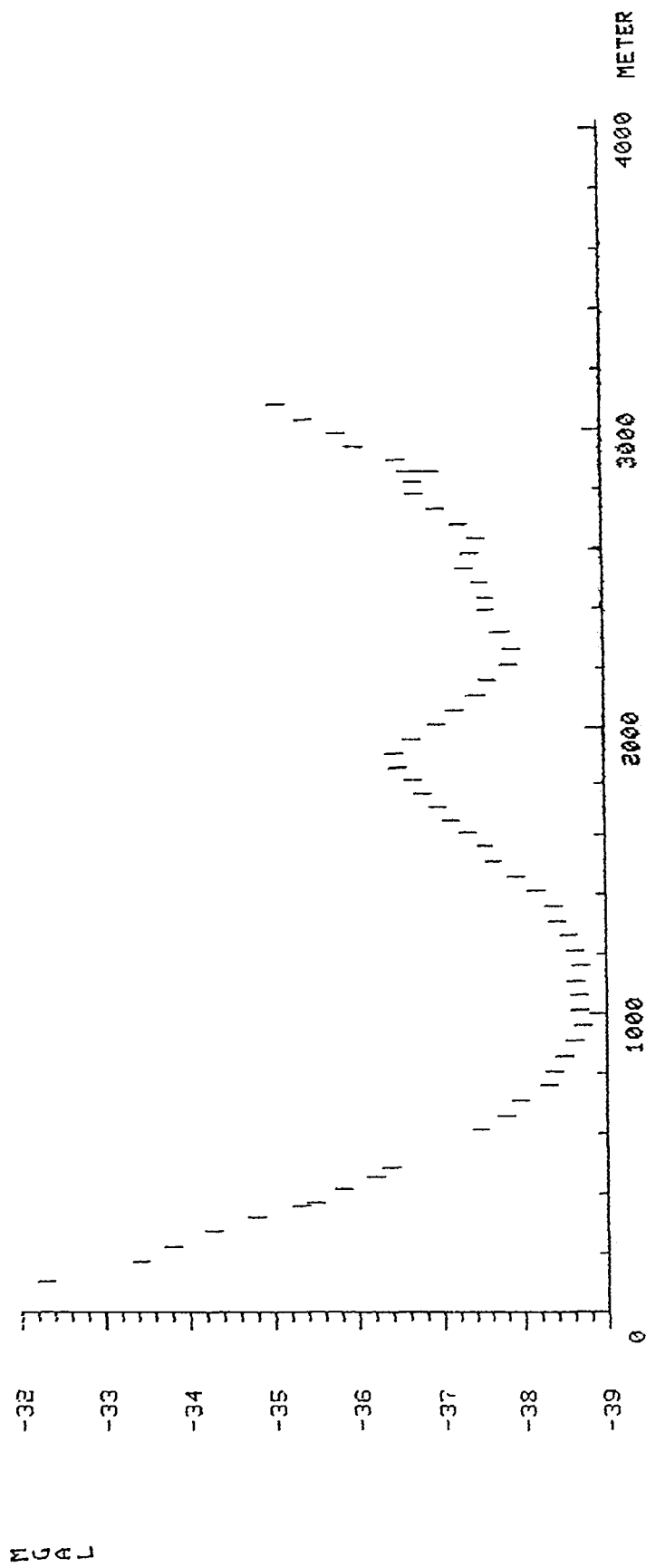
Startkoordinat for profil : UTM-øst = 596100 , UTM-nord = 7040900

Sluttkoordinat for profil : UTM-øst = 596105 , UTM-nord = 7036700

Søkebredde i profil : 300 m

Regionalanomali som skyldes berggrunnen er regnet  
å variere lineært langs profilet med valgt nivå :

- 35.6 mGal i første utplukkspunkt i profilet og
- 32.0 mGal i siste utplukkspunkt i profilet.



### Profil 3 - Bougueranomalier langs utplukksprofil

Startkoordinat for profil : UTM-øst = 597400 , UTM-nord = 7037000

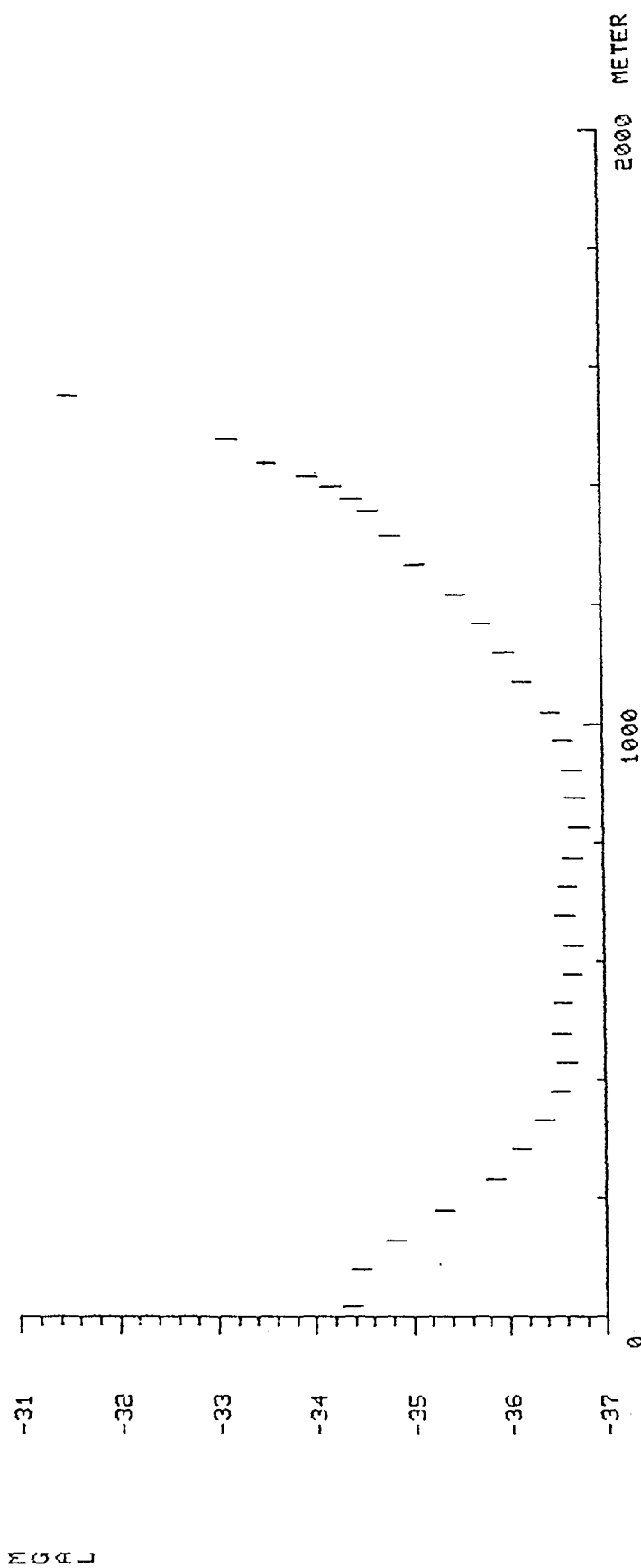
Sluttkoordinat for profil : UTM-øst = 598300 , UTM-nord = 7040000

Søkebredde i profil : 400 m

Regionalanomali som skyldes berggrunnen er regnet

å variere lineært langs profilet med valgt nivå :

- 32.1 mGal i første utplukkspunkt i profilet og
- 34.9 mGal i siste utplukkspunkt i profilet.



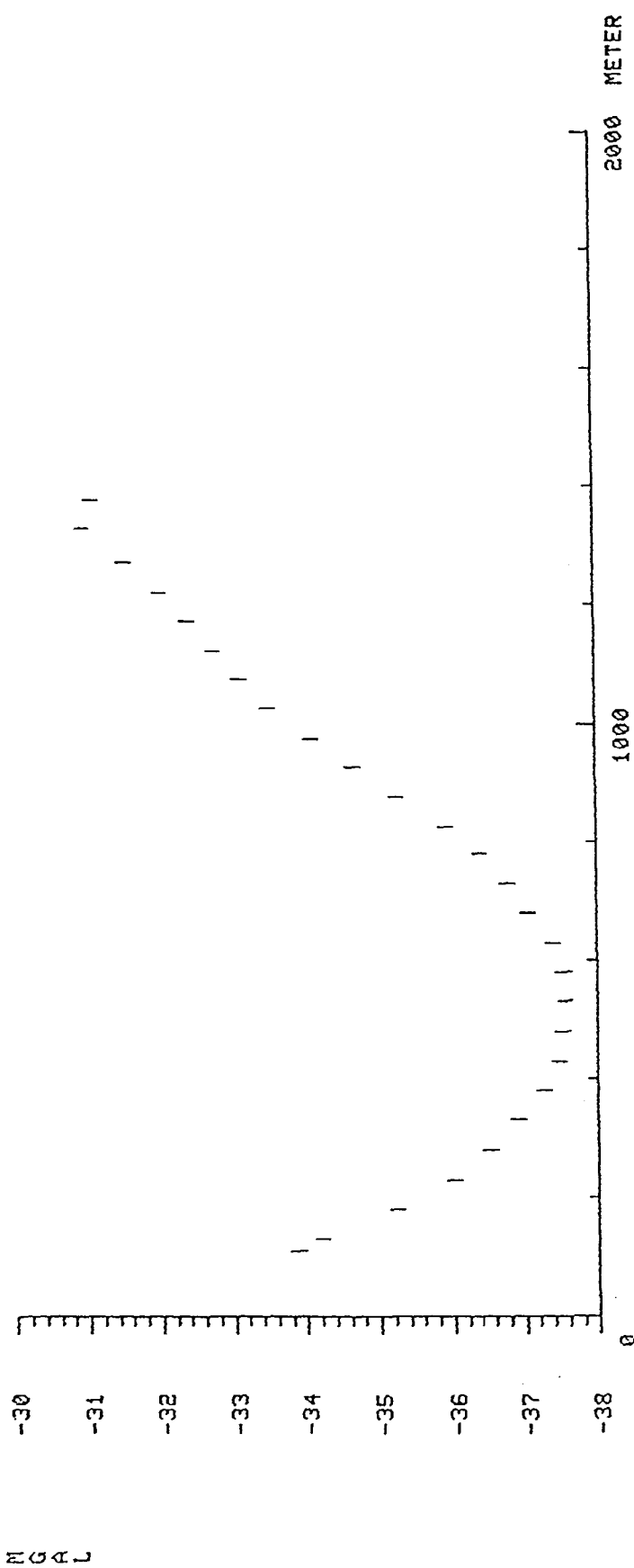
#### Profil 4 - Bougueranomalier langs utplukksprofil

Startkoordinat for profil : UTM-øst = 5999200 , UTM-nord = 7038800

Sluttkoordinat for profil : UTM-øst = 5999300 , UTM-nord = 7037200

Søkebredde i profil : 400 m

Regionalanomali som skyldes berggrunnen er regnet  
å variere lineært langs profilet med valgt nivå :  
- 33.0 mGal i første utplukkspunkt i profilet og  
- 31.2 mGal i siste utplukkspunkt i profilet.



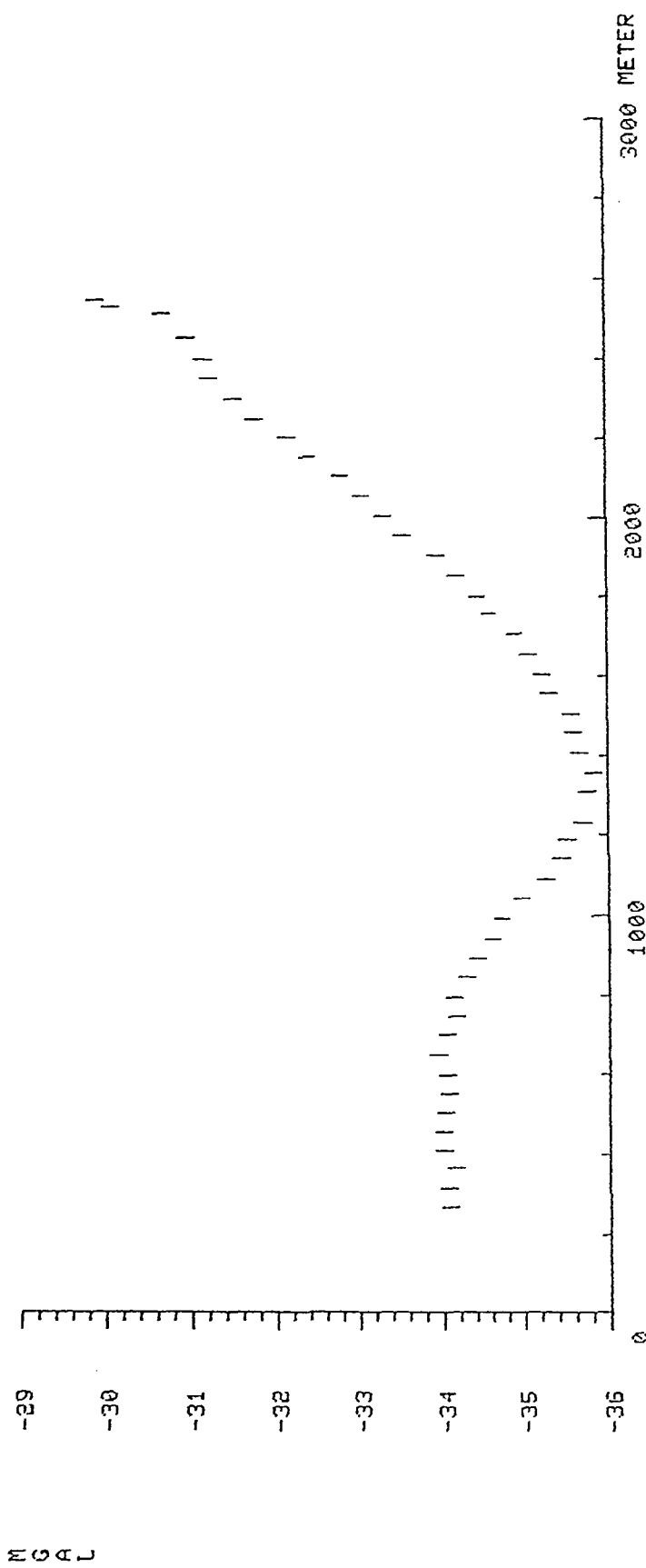
### Profil 5 - Bougueranomalier langs utplukksprofil

Startkoordinat for profil : UTM-øst = 600250 , UTM-nord = 7038800

Sluttkoordinat for profil : UTM-øst = 600600 , UTM-nord = 7037400

Søkebredd i profil : 200 m

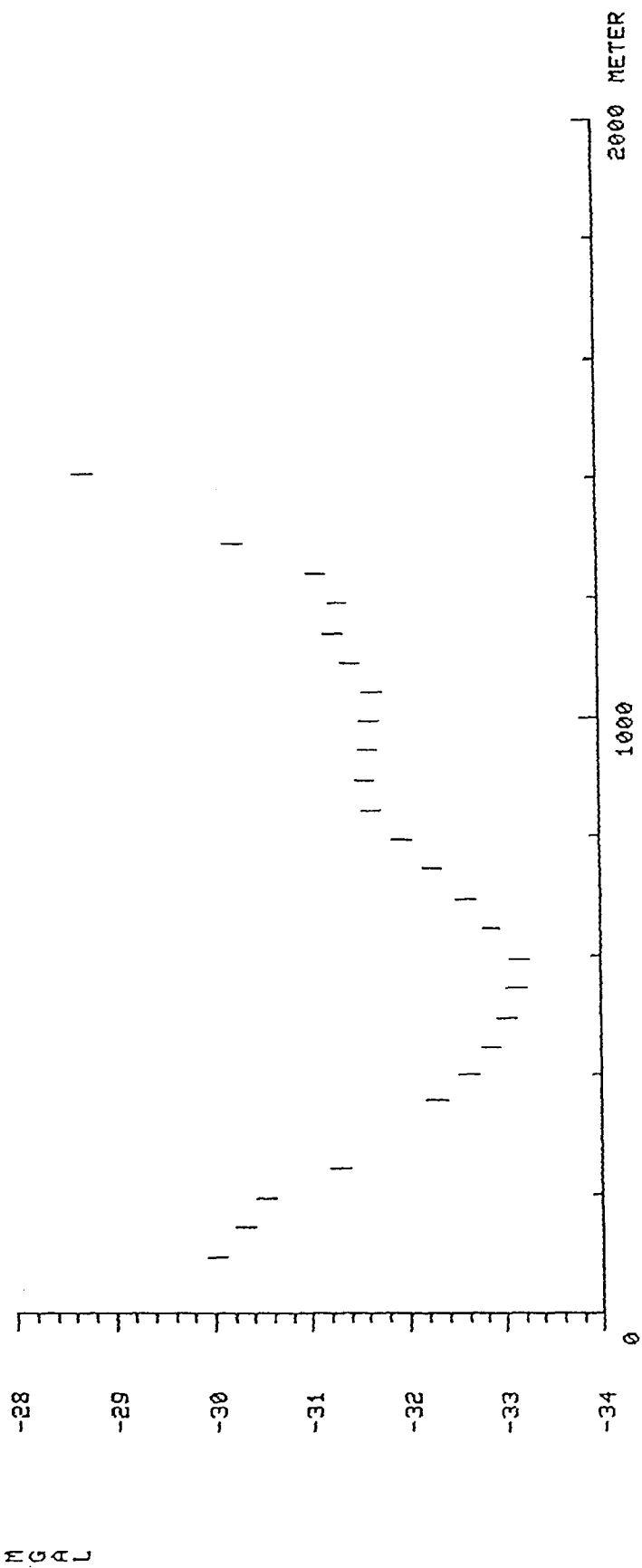
Regionalanomali som skyldes berggrunnen er regnet  
å variere lineært langs profilet med valgt nivå :  
- 33.4 mGal i første utplukkspunkt i profilet og  
- 30.7 mGal i siste utplukkspunkt i profilet.



### Profil 6 - Bougueranomalier langs utplukksprofil

Startkoordinat for profil : UTM-øst = 602500 , UTM-nord = 7040000  
 Sluttkoordinat for profil : UTM-øst = 602550 , UTM-nord = 7037400  
 Søkebredde i profil : 300 m

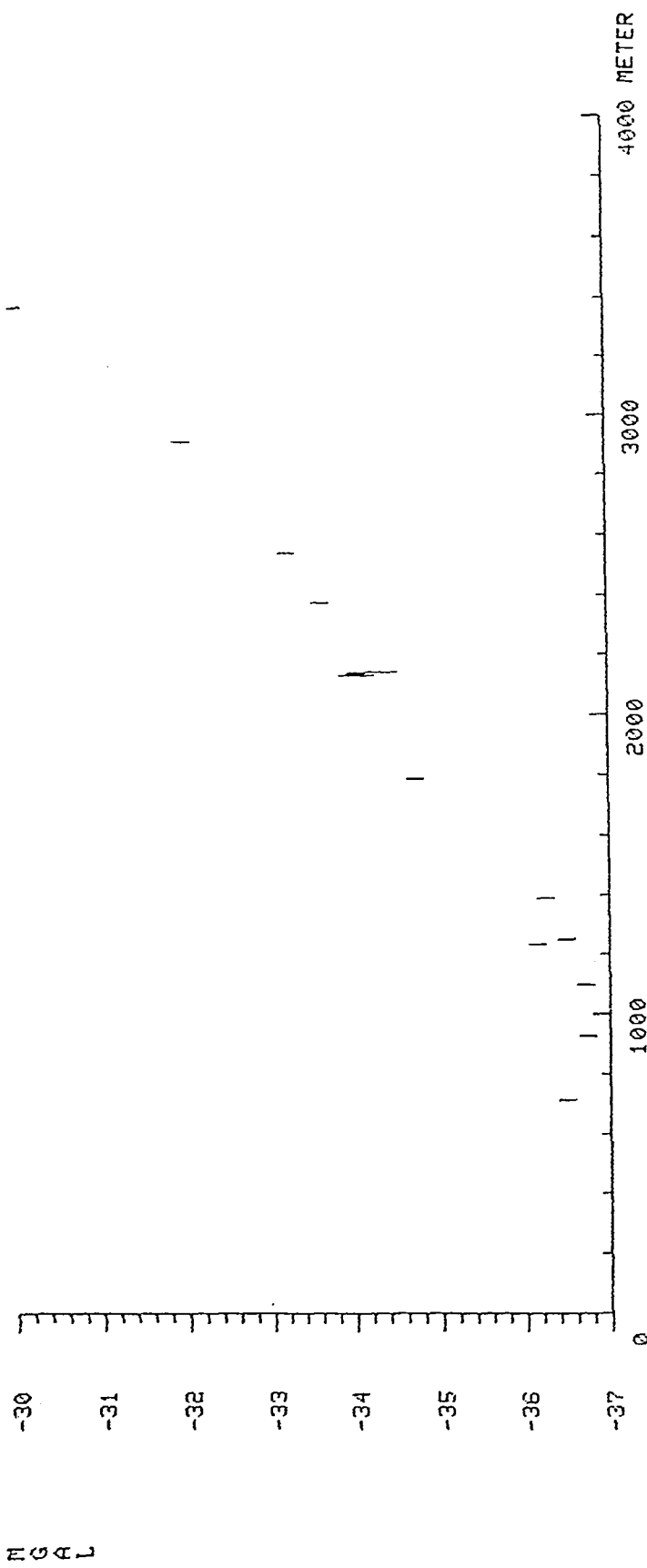
Regionalanomali som skyldes berggrunnen er regnet  
 å variere lineært langs profilet med valgt nivå :  
 - 31.6 mGal i første utplukkspunkt i profilet og  
 - 29.6 mGal i siste utplukkspunkt i profilet.



### Profil 7 - Bougueranomalier langs utplukksprofil

Startkoordinat for profil : UTM-øst = 603750 , UTM-nord = 7039400  
 Sluttkoordinat for profil : UTM-øst = 604500 , UTM-nord = 7038150  
 Søkebredd i profil : 300 m

Regionalanomali som skyldes berggrunnen er regnet  
 å variere lineært langs profilet med valgt nivå :  
 - 29.8 mGal i første utplukkspunkt i profilet og  
 - 28.4 mGal i siste utplukkspunkt i profilet.



### Profil X - Bougueranomalier langs utplukksprofil

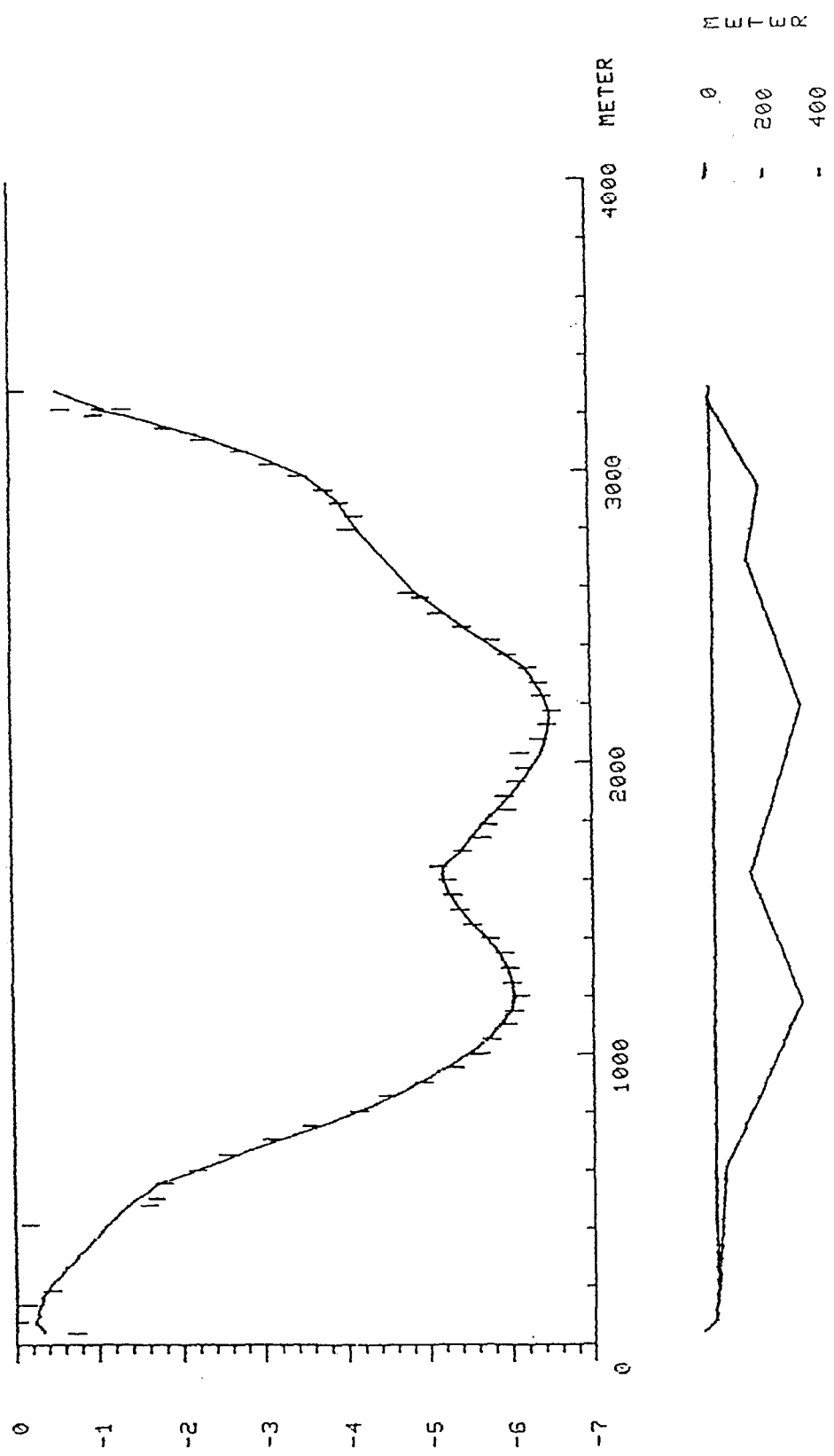
Startkoordinat for profil : UTM-øst = 600400 , UTM-nord = 7038900

Sluttkoordinat for profil : UTM-øst = 603800 , UTM-nord = 7039480

Søkebredde i profil : 400 m

Regionalanomali som skyldes berggrunnen er regnet  
å variere lineært langs profilet med valgt nivå :

- 33.2 mGal i første utplukkspunkt i profilet og
- 29.8 mGal i siste utplukkspunkt i profilet.



### Profil 1 - Tyngdemodellering

Modellanomali (heitrukket) sammenholdt med residualanomaliene.  
Residualanomali = Bougueranomali - Regionalanomali (fra databilag 3).

**Profil 1 - Modelldata****Densitetsverdier:**

Løsmasser kropp 1 - 3 : 1700 kg/m<sup>3</sup>  
 Løsmasser kropp 4 : 2000 kg/m<sup>3</sup>  
 Berggrunn (omgivelser) : 2700 kg/m<sup>3</sup>

**Geometriske data for kroppene:**

Lengdeavgrensing: Ymin og Ymax. Angitt i meter fra tolkningsprofil.

Hjørnekoordinater (X,Z) i polygonformet tverrsnitt:

X = Horizontalakse i tolkningsprofil. Angitt i meter.

Z = Vertikalakse i tolkningsprofil, positiv retning nedover.  
 Angitt i m u.h. (meter under havnivå).

**Kropp 1**

Ymin = -50 , Ymax = 50  
 Hjørne X Z  
 1 570 0.0  
 2 1270 0.0  
 3 1010 -1.0  
 4 960 -2.0  
 5 900 -2.0  
 6 870 -1.2  
 7 600 -1.2

**Kropp 2**

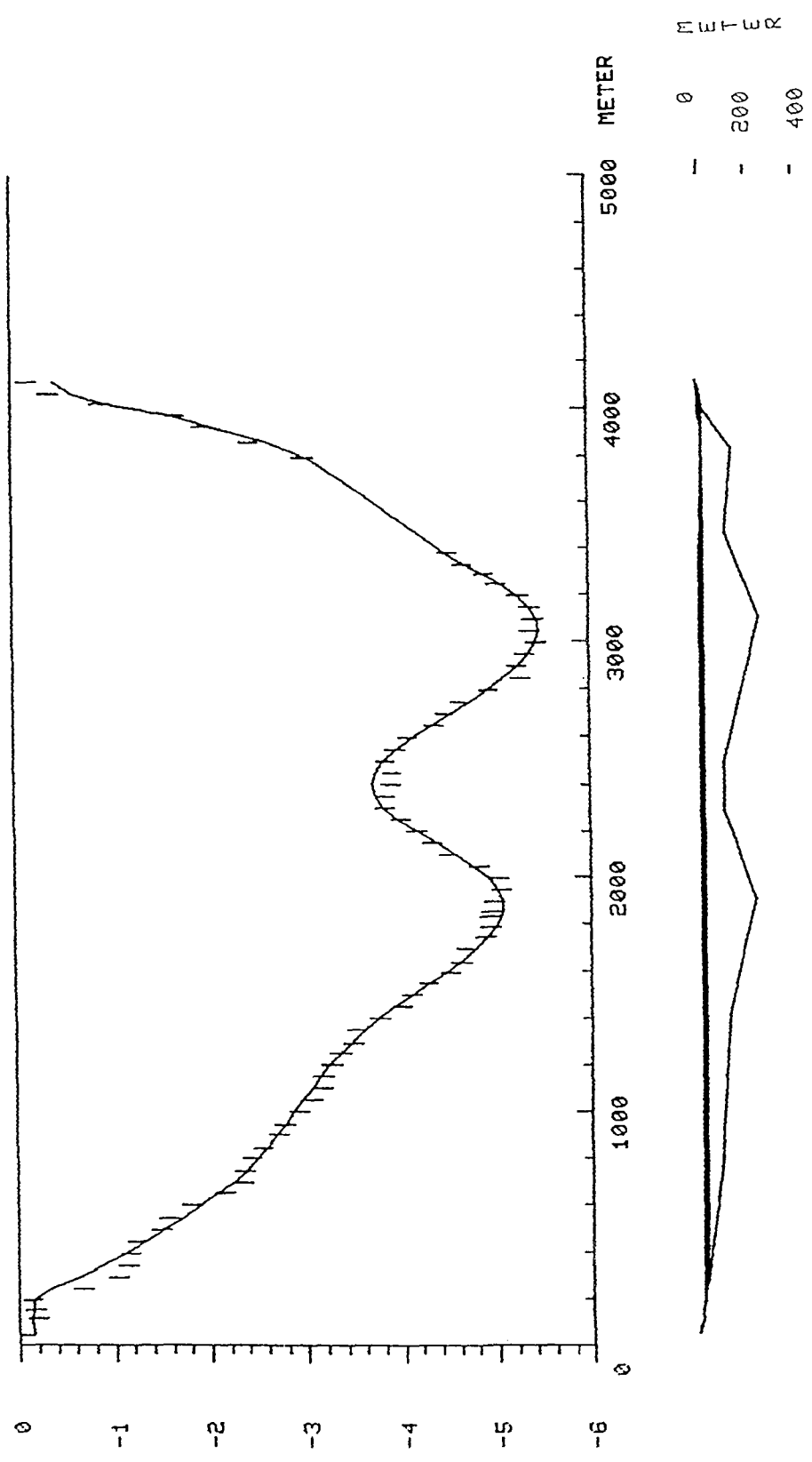
Ymin = -300 , Ymax = 15  
 Hjørne X Z  
 1 1695 -3.5  
 2 1675 0.0  
 3 2580 0.0  
 4 2350 -3.5

**Kropp 3**

Ymin = -500 , Ymax = 10  
 Hjørne X Z  
 1 2815 -2.9  
 2 2804 0.0  
 3 3237 0.0  
 4 3242 -3.5  
 5 3206 -2.4  
 6 3113 -2.4  
 7 3086 -2.9

**Kropp 4**

Ymin = -3000 , Ymax = 3000  
 Hjørne X Z  
 1 160 1  
 2 600 34  
 3 1171 303  
 4 1611 126  
 5 2189 303  
 6 2686 120  
 7 2937 166  
 8 3237 0  
 9 480 0



### Profil 2 - Tyngdemodellering

Modellanomali (helt rukket) sammenholdt med residualanomaliene.  
Residualanomali = Bougueranomali - Regionalanomali (fra databilag 3).

**Profil 2 - Modelldata****Densitetsverdier:**

Løsmasser kropp 1 - 2 : 1700 kg/m<sup>3</sup>  
 Løsmasser kropp 3 - 5 : 2000 kg/m<sup>3</sup>  
 Berggrunn (omgivelser) : 2700 kg/m<sup>3</sup>

**Geometriske data for kroppene:**

Lengdeavgrensing: Ymin og Ymax. Angitt i meter fra tolkningsprofil.

Hjørnekoordinater (X, Z) i polygonformet tverrsnitt:

X = Horizontalakse i tolkningsprofil. Angitt i meter.

Z = Vertikalakse i tolkningsprofil, positiv retning nedover.  
 Angitt i m u.h. (meter under havnivå).

**Kropp 1**

Ymin = -1000 , Ymax = 1000

Hjørne	X	Z
1	220	-8.7
2	257	-4.0
3	3257	-3.0
4	3431	0.5
5	3391	-11.5
6	1968	-11.5
7	1903	-11.0
8	1133	-10.2
9	380	-10.2

**Kropp 2**

Ymin = -1000 , Ymax = 500

Hjørne	X	Z
1	3977	-9.5
2	3937	0.5
3	3992	-6.0
4	4076	-7.0
5	4096	-9.5

**Kropp 3**

Ymin = -2000 , Ymax = 2000

Hjørne	X	Z
1	257	-4.0
2	277	0.6
3	3434	0.6
4	3431	0.5
5	3257	-3.0

**Kropp 4**

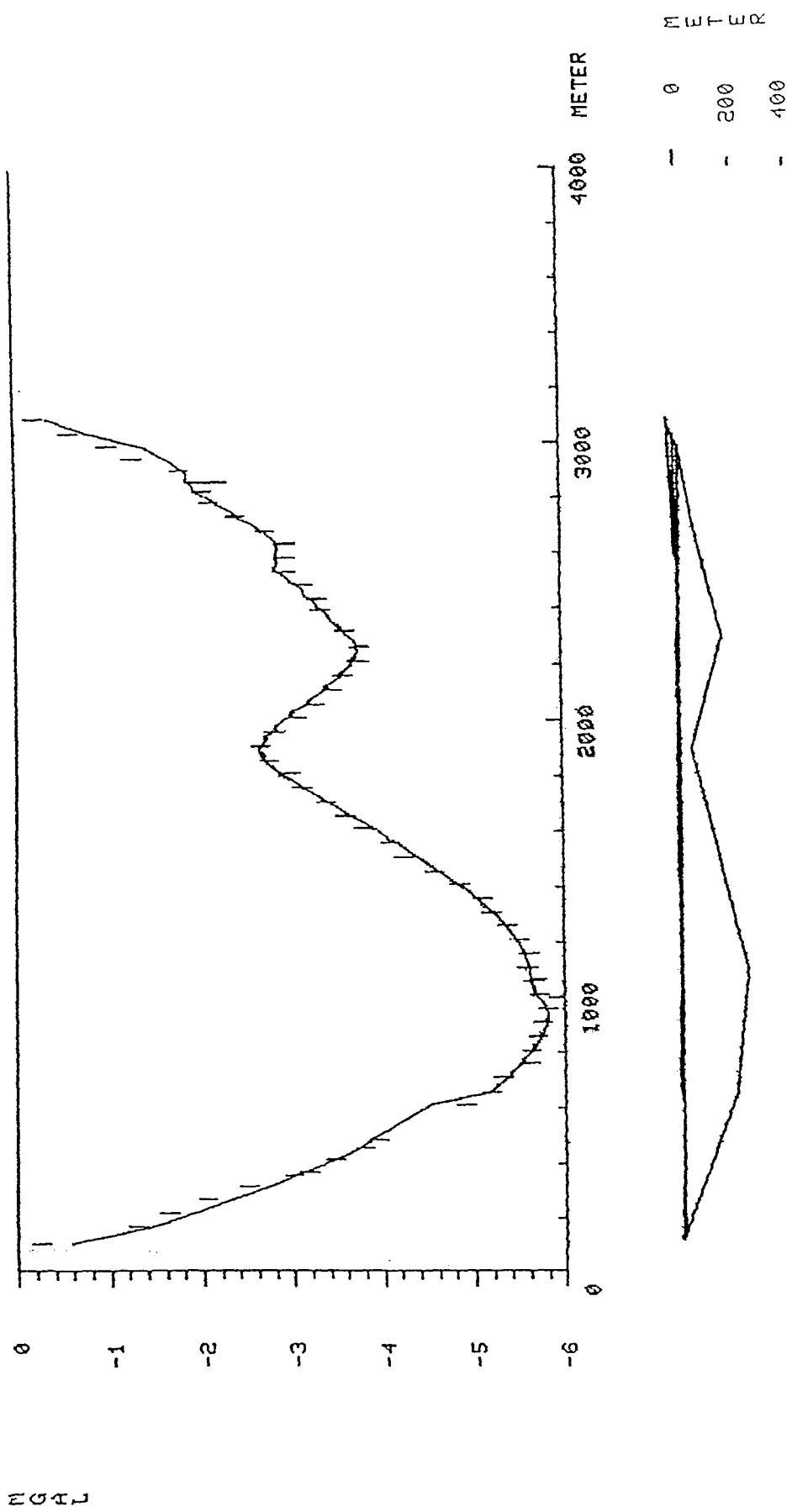
Ymin = -1000 , Ymax = 500

Hjørne	X	Z
1	3992	-6.0
2	3937	0.5
3	3935	0.6
4	4012	0.6
5	4076	-7.0

**Kropp 5**

Ymin = -3000 , Ymax = 3000

Hjørne	X	Z
1	277	0.6
2	750	70.0
3	1400	105.0
4	1900	215.0
5	2280	90.0
6	2500	90.0
7	3100	240.0
8	3470	100.0
9	3830	130.0
10	4000	0.6



### Profil 3 - Tyngdemodellering

Modellanomali (heltrukket) sammenholdt med residualanomaliene.  
Residualanomali = Bougueranomali - Regionalanomali (fra databilag 3).

**Profil 3 - Modelldata****Densitetsverdier:**

Løsmasser kropp 1 - 4 : 1700 kg/m<sup>3</sup>  
 Løsmasser kropp 5 - 6 : 2000 kg/m<sup>3</sup>  
 Berggrunn (omgivelser) : 2700 kg/m<sup>3</sup>

**Geometriske data for kroppene:**

Lengdeavgrensing: Ymin og Ymax. Angitt i meter fra tolkningsprofil.

Hjørnekoordinater (X, Z) i polygonformet tverrsnitt:

X = Horizontalakse i tolkningsprofil. Angitt i meter.

Z = Vertikalakse i tolkningsprofil, positiv retning nedover.  
 Angitt i m u.h. (meter under havnivå).

**Kropp 1**

Ymin = -2000 , Ymax = 2000

Hjørne	X	Z
1	127	-2.0
2	492	-0.8
3	463	-3.0
4	162	-8.2

**Kropp 2**

Ymin = -2000 , Ymax = 2000

Hjørne	X	Z
1	638	-12.5
2	615	-0.8
3	1027	-6.5
4	947	-12.5

**Kropp 3**

Ymin = -2000 , Ymax = 2000

Hjørne	X	Z
1	1083	-6.5
2	2353	-6.5
3	2274	-13.9
4	1819	-12.9
5	1374	-11.0

**Kropp 4**

Ymin = -2000 , Ymax = 2000

Hjørne	X	Z
1	2405	-6.5
2	3020	-20.0
3	3062	-37.2
4	2876	-32.5
5	2845	-26.2
6	2650	-26.2
7	2546	-10.3

**Kropp 5**

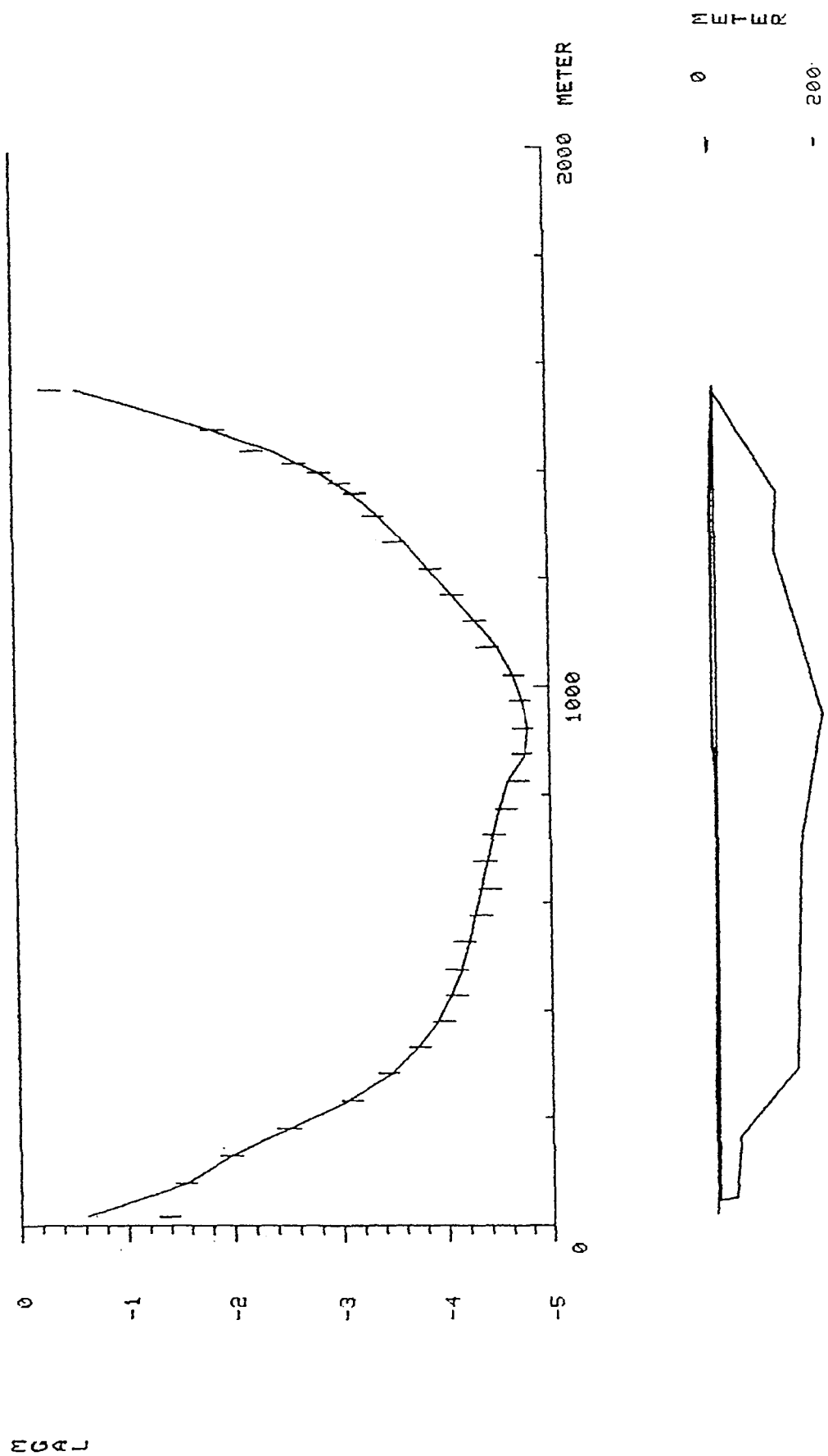
Ymin = -3000 , Ymax = 3000

Hjørne	X	Z
1	127	-2.0
2	132	0.0
3	2987	0.0
4	3020	-20.0
5	2405	-6.5
6	1027	-6.5
7	615	-0.8
8	492	-0.8

**Kropp 6**

Ymin = -3000 , Ymax = 3000

Hjørne	X	Z
1	132	0
2	650	190
3	1100	240
4	1900	40
5	2300	150
6	2700	50
7	2987	0



#### Profil 4 - Tyngdemodellering

Modellanomali (heltrukket) sammenholdt med residualanomaliene.  
Residualanomali = Bougueranomali - Regionalanomali (fra databilag 3).

**Profil 4 - Modelldata****Densitetsverdier:**

Løsmasser kropp 1 : 1700 kg/m<sup>3</sup>  
 Løsmasser kropp 2 : 2000 kg/m<sup>3</sup>  
 Berggrunn (omgivelser) : 2700 kg/m<sup>3</sup>

**Geometriske data for kroppene:**

Lengdeavgrensing: Ymin og Ymax. Angitt i meter fra tolkningsprofil.

Hjørnekoordinater (X,Z) i polygonformet tverrsnitt:

X = Horizontalakse i tolkningsprofil. Angitt i meter.

Z = Vertikalakse i tolkningsprofil, positiv retning nedover.  
 Angitt i m u.h. (meter under havnivå).

**Kropp 1**

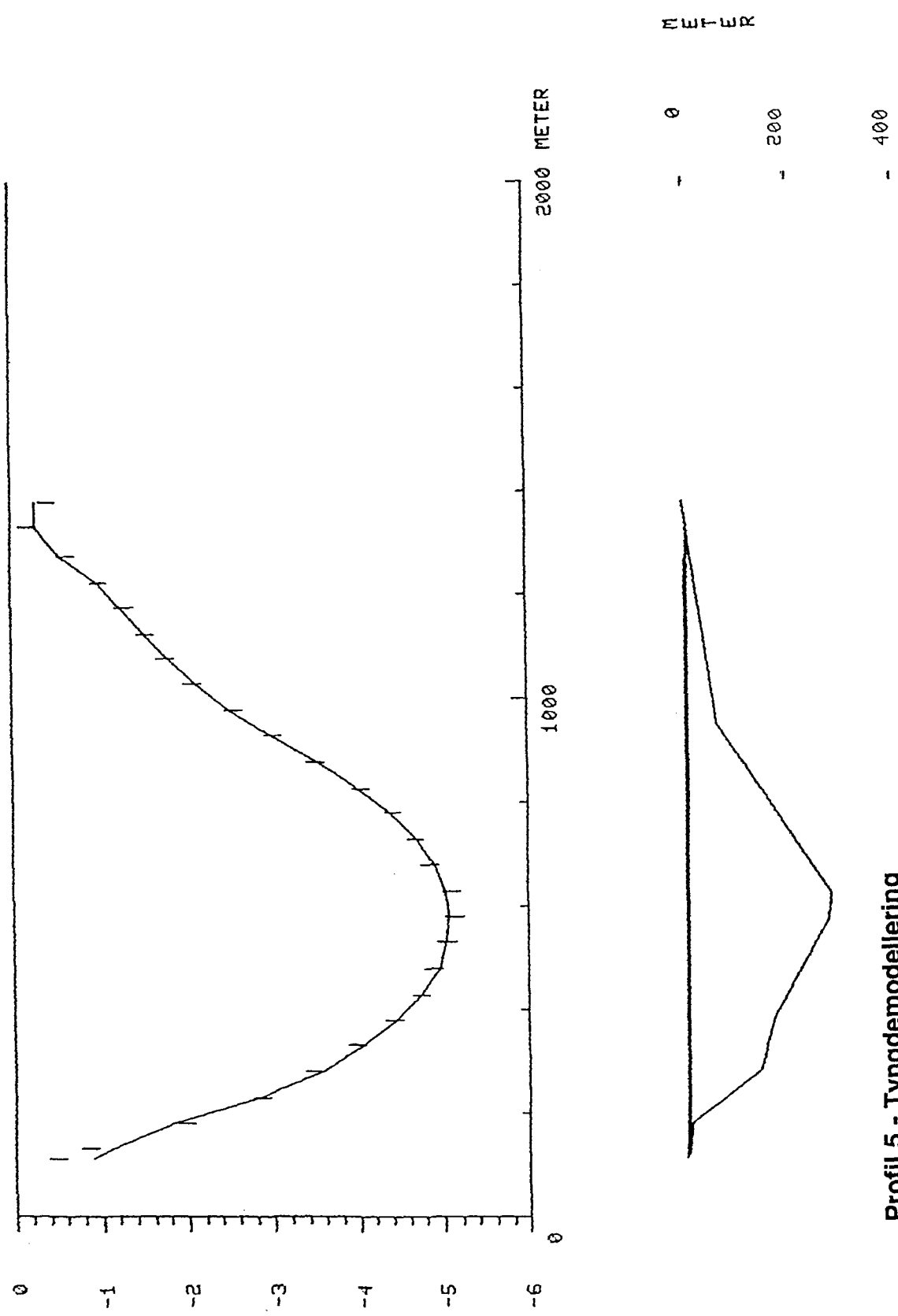
Ymin = -2000 , Ymax = 2000

Hjørne	X	Z
1	43	-3.6
2	44	-0.5
3	1500	-0.5
4	1472	-5.5
5	1396	-8.2
6	1087	-9.9
7	890	-9.4
8	810	-2.5
9	243	-6.0

**Kropp 2**

Ymin = -3000 , Ymax = 3000

Hjørne	X	Z
1	44	-0.5
2	50	30.0
3	160	40.0
4	290	148.0
5	700	155.0
6	950	200.0
7	1250	110.0
8	1360	115.0
9	1547	-0.5



### Profil 5 - Tyngdemodellering

Modellanomali (heltrukket) sammenholdt med residualanomaliene.  
Residualanomali = Bougueranomali - Regionalanomali (fra databilag 3).

**Profil 5 - Modelldata****Densitetsverdier:**

Løsmasser kropp 1 : 1700 kg/m<sup>3</sup>  
 Løsmasser kropp 2 : 2000 kg/m<sup>3</sup>  
 Berggrunn (omgivelser) : 2700 kg/m<sup>3</sup>

**Geometriske data for kroppene:**

Lengdeavgrensing: Ymin og Ymax. Angitt i meter fra tolkningsprofil.

Hjørnekoordinater (X,Z) i polygonformet tverrsnitt:

X = Horizontalakse i tolkningsprofil. Angitt i meter.

Z = Vertikalakse i tolkningsprofil, positiv retning nedover.  
 Angitt i m u.h. (meter under havnivå).

**Kropp 1**

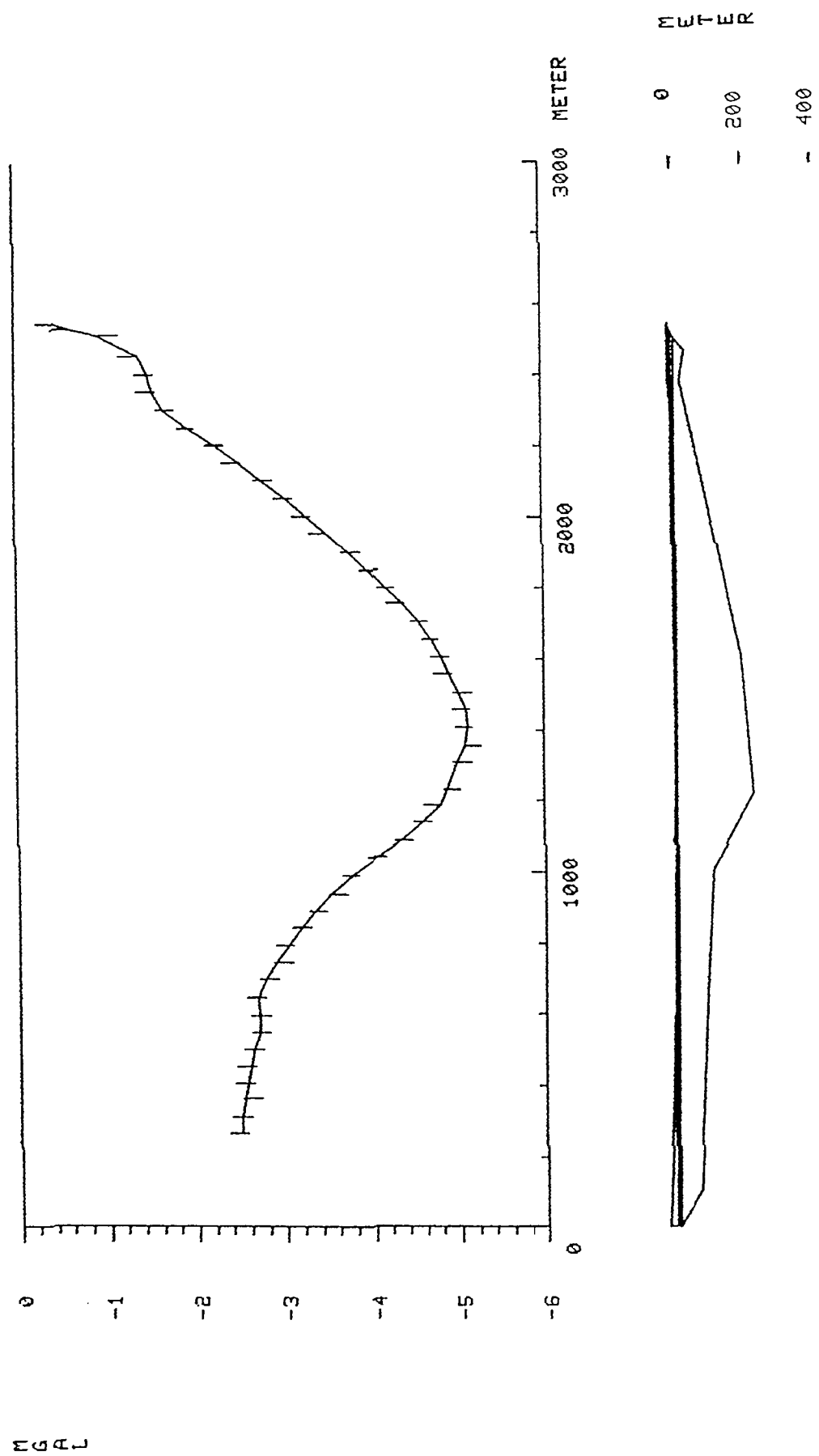
Ymin = -2000 , Ymax = 2000

Hjørne	X	Z
1	119	-4.2
2	123	-0.5
3	1279	-0.5
4	1261	-4.6
5	990	-5.1
6	701	-4.0
7	550	-2.2
8	493	-5.5
9	371	-5.0
10	241	-3.0

**Kropp 2**

Ymin = -3000 , Ymax = 3000

Hjørne	X	Z
1	123	-0.5
2	180	4.0
3	280	140.0
4	380	165.0
5	575	270.0
6	625	275.0
7	950	55.0
8	1327	-0.5



### Profil 6 - Tyngdemodellering

Modellanomali (heltrukket) sammenholdt med residualanomaliene.  
Residualanomali = Bougueranomali - Regionalanomali (fra databilag 3).

**Profil 6 - Modelldata****Densitetsverdier:**

Løsmasser kropp 1 - 2 : 1700 kg/m<sup>3</sup>  
 Løsmasser kropp 3 - 4 : 2000 kg/m<sup>3</sup>  
 Berggrunn (omgivelser) : 2700 kg/m<sup>3</sup>

**Geometriske data for kroppene:**

Lengdeavgrensing: Ymin og Ymax. Angitt i meter fra tolkningsprofil.

Hjørnekoordinater (X, Z) i polygonformet tverrsnitt:

X = Horizontalakse i tolkningsprofil. Angitt i meter.

Z = Vertikalakse i tolkningsprofil, positiv retning nedover.  
 Angitt i m u.h. (meter under havnivå).

**Kropp 1**

Ymin = -2000 , Ymax = 2000

Hjørne	X	Z
1	0	-30.0
2	1	-9.0
3	1239	-3.5
4	1218	-7.0
5	951	-7.2
6	838	-8.2
7	667	-6.5
8	561	-12.0
9	501	-11.9
10	317	-15.8

**Kropp 2**

Ymin = -2000 , Ymax = 2000

Hjørne	X	Z
1	1423	-7.1
2	1303	-3.5
3	2521	-8.0
4	2540	-16.6
5	2405	-16.0
6	2302	-8.9
7	2188	-10.1
8	1906	-8.4
9	1654	-7.8
10	1561	-6.3

**Kropp 3**

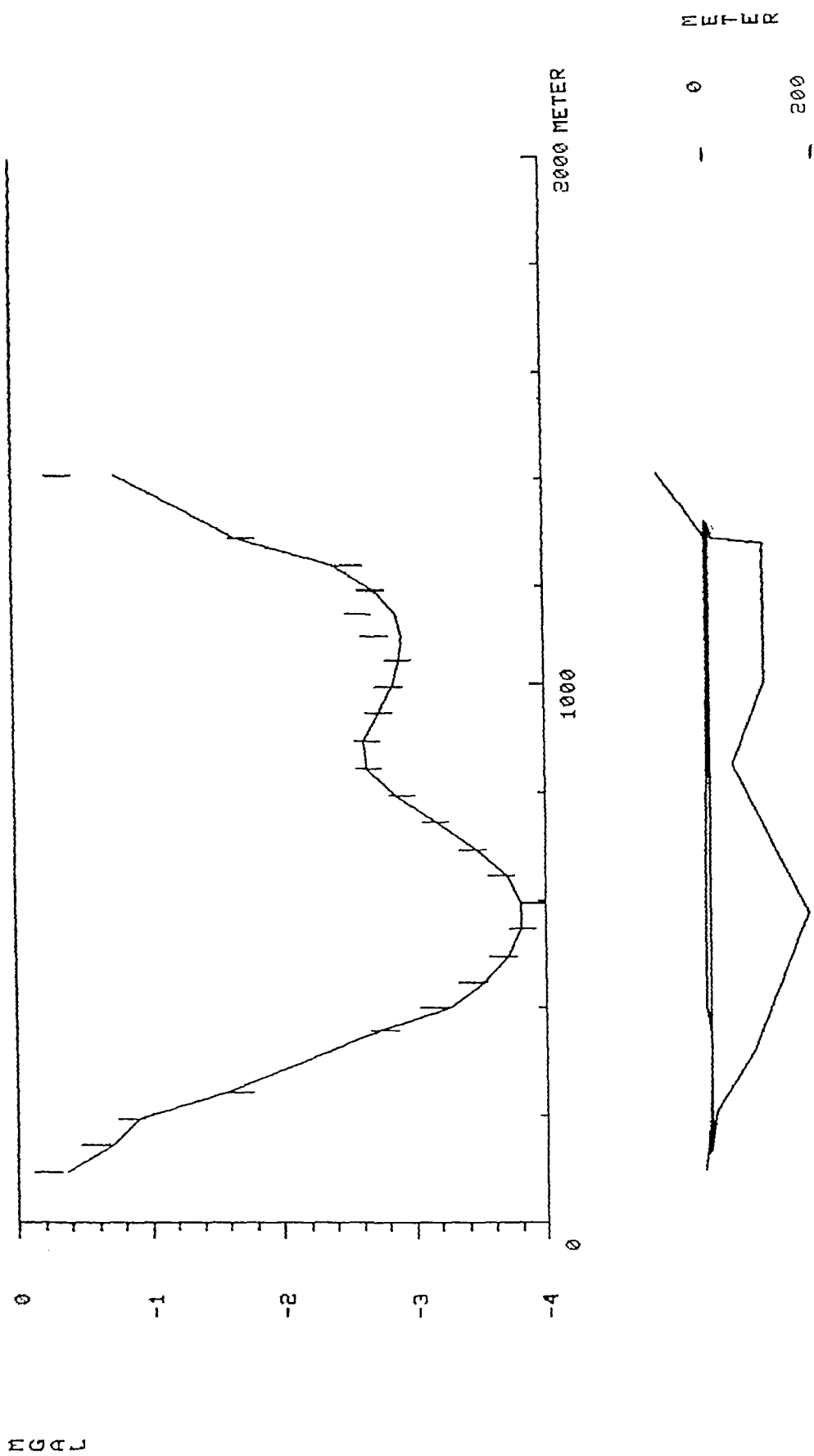
Ymin = -3000 , Ymax = 3000

Hjørne	X	Z
1	1	-9.0
2	2	0.0
3	2506	0.0
4	2521	-8.0
5	1303	-3.5
6	1239	-3.5

**Kropp 4**

Ymin = -3000 , Ymax = 3000

Hjørne	X	Z
1	2	0
2	100	58
3	650	79
4	1000	100
5	1220	220
6	1600	185
7	2390	18
8	2470	30
9	2506	0



### Profil 7 - Tyngdemodellering

Modellanomali (heltrukket) sammenholdt med residualanomaliene.  
Residualanomali = Bougueranomali - Regionalanomali (fra databilag 3).

**Profil 7 - Modelldata****Densitetsverdier:**

Løsmasser kropp 1 - 2 : 1700 kg/m<sup>3</sup>  
 Løsmasser kropp 3 : 2000 kg/m<sup>3</sup>  
 Berggrunn (omgivelser) : 2700 kg/m<sup>3</sup>

**Geometriske data for kroppene:**

Lengdeavgrensing: Ymin og Ymax. Angitt i meter fra tolkningsprofil.

Hjørnekoordinater (X, Z) i polygonformet tverrsnitt:

X = Horizontalakse i tolkningsprofil. Angitt i meter.

Z = Vertikalakse i tolkningsprofil, positiv retning nedover.  
 Angitt i m u.h. (meter under havnivå).

**Kropp 1**

Ymin = -2000 , Ymax = 2000

Hjørne	X	Z
1	126	-9.9
2	134	-4.0
3	282	-4.0
4	176	-5.8
5	166	-9.9

**Kropp 2**

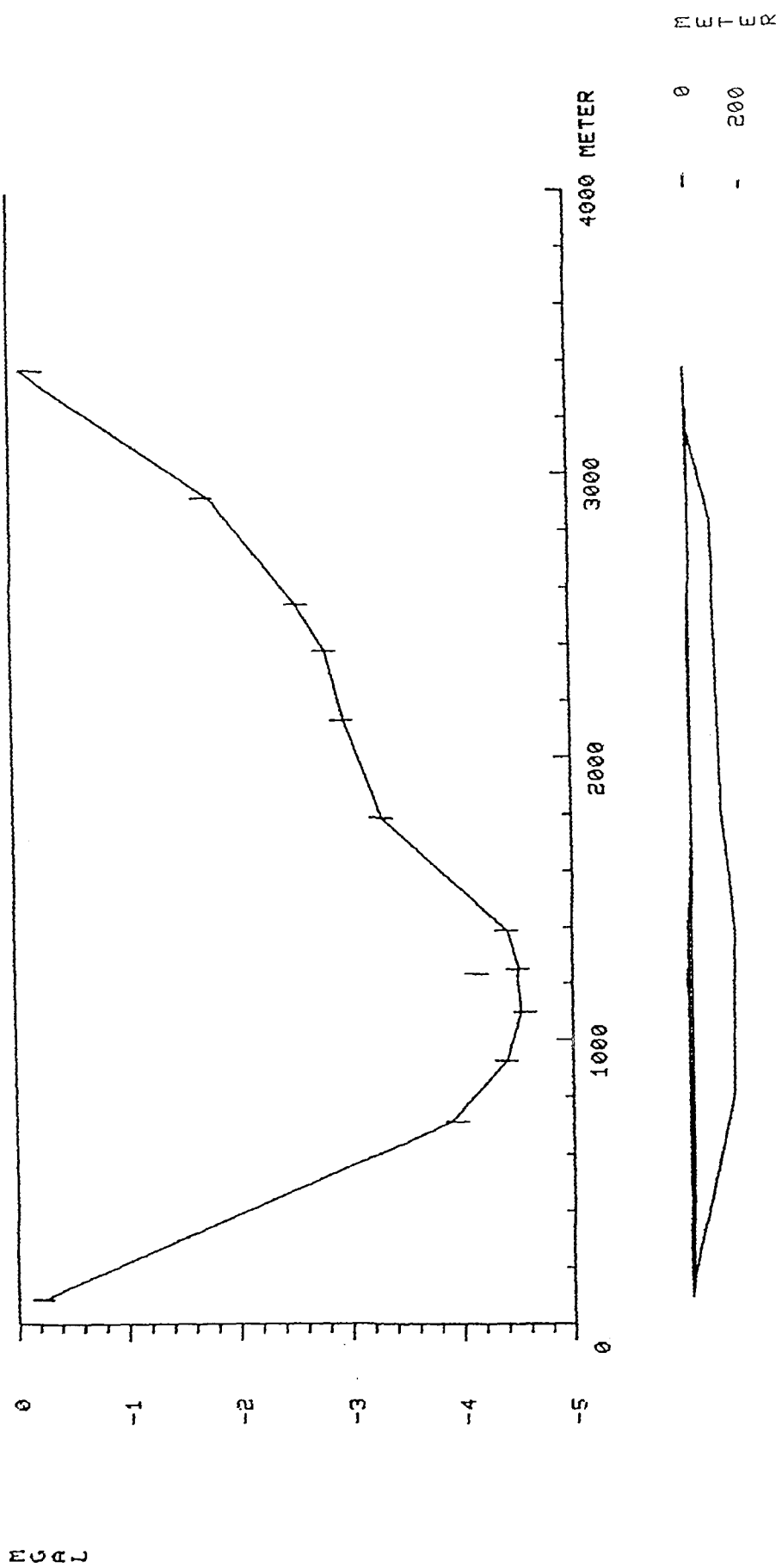
Ymin = -2000 , Ymax = 2000

Hjørne	X	Z
1	395	-11.8
2	353	-4.0
3	1317	-4.0
4	1322	-10.3
5	1229	-9.5
6	1144	-11.3
7	1005	-10.2
8	706	-12.0
9	649	-13.1

**Kropp 3**

Ymin = -3000 , Ymax = 3000

Hjørne	X	Z
1	134	-4
2	205	-5
3	320	80
4	575	180
5	850	40
6	1000	100
7	1280	100
8	1290	5
9	1317	-4



### Profil X - Tyngdemodellering

Modellanomali (heltrukket) sammenholdt med residualanomaliene.  
Résidualanomali = Bougueranomali - Regionalanomali (fra databilag 3).

**Profil X - Modelldata****Densitetsverdier:**

Løsmasser kropp 1 : 1700 kg/m<sup>3</sup>  
 Løsmasser kropp 2 : 2000 kg/m<sup>3</sup>  
 Berggrunn (omgivelser) : 2700 kg/m<sup>3</sup>

**Geometriske data for kroppene:**

Lengdeavgrensing: Ymin og Ymax. Angitt i meter fra tolkningsprofil.

Hjørnekoordinater (X,Z) i polygonformet tverrsnitt:

X = Horizontalakse i tolkningsprofil. Angitt i meter.

Z = Vertikalakse i tolkningsprofil, positiv retning nedover.  
 Angitt i m u.h. (meter under havnivå).

**Kropp 1**

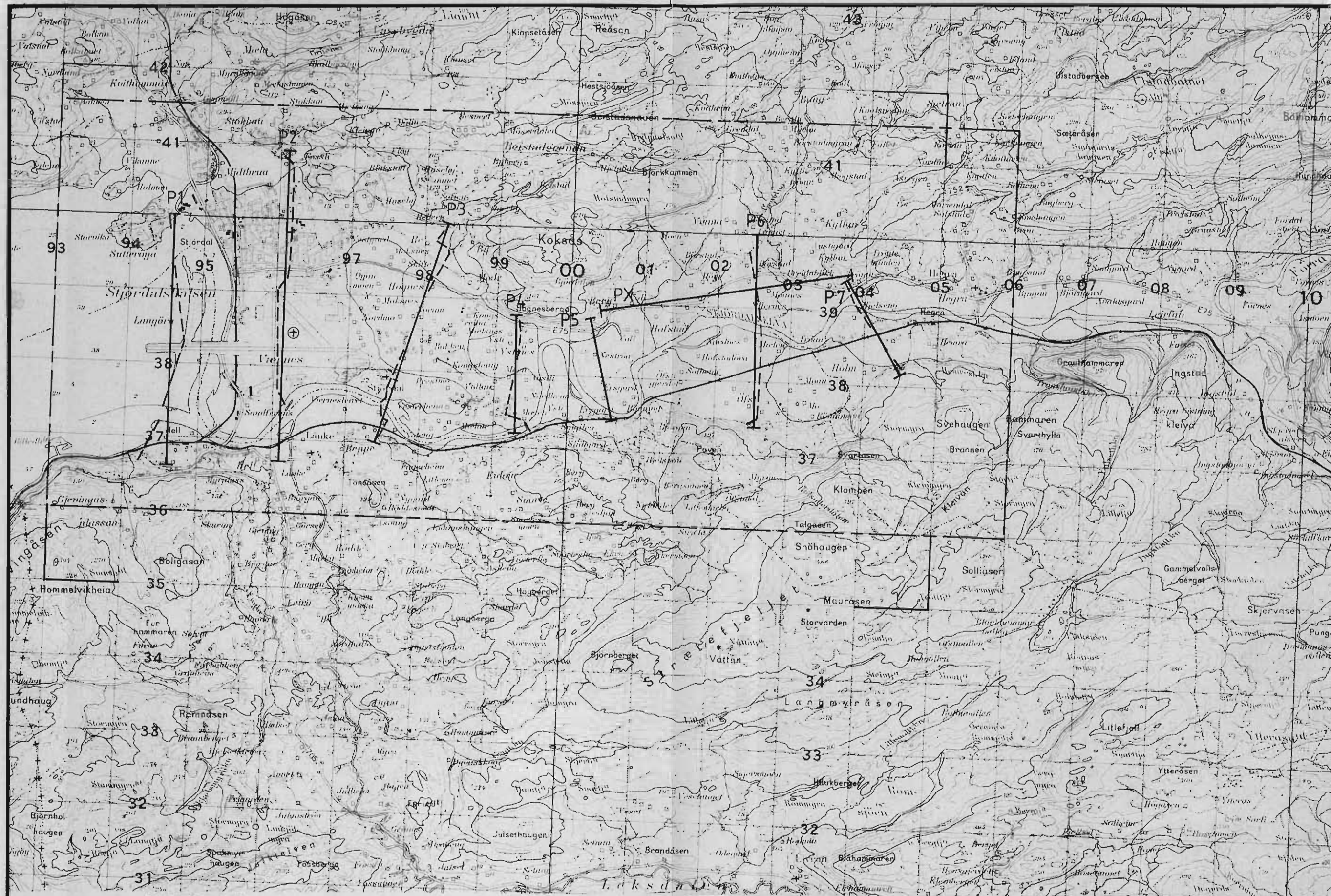
Ymin = -1000 , Ymax = 2000

Hjørne	X	Z
1	95	-16.6
2	150	-6.0
3	3150	-6.0
4	3220	-10.4
5	2600	-8.4
6	2390	-11.8
7	1850	-8.3
8	1550	-8.3
9	1410	-18.6
10	1012	-20.7

**Kropp 2**

Ymin = -2000 , Ymax = 3000

Hjørne	X	Z
1	150	-6
2	810	140
3	1400	145
4	1800	100
5	2830	70
6	3150	-6



TEGNFORKLARING

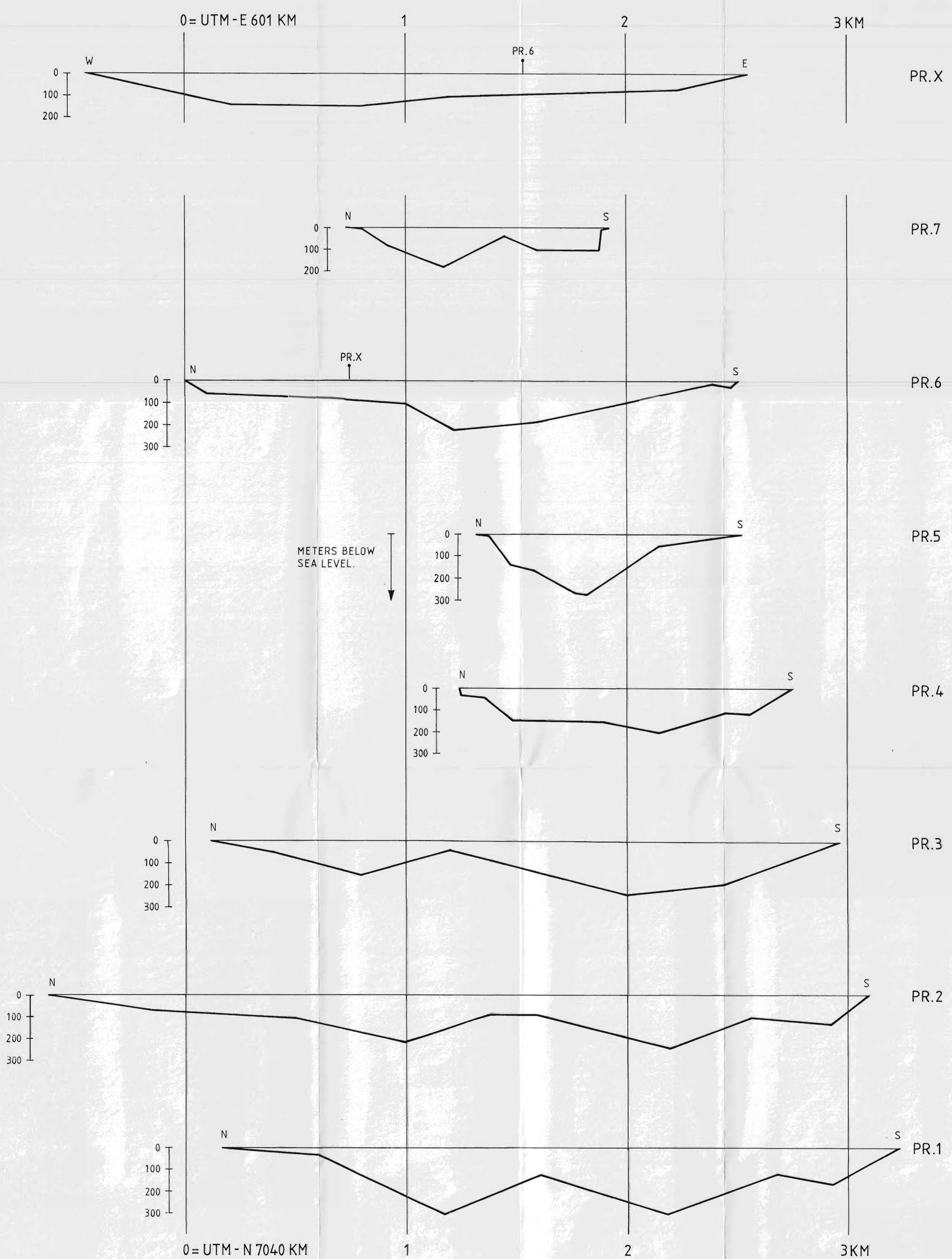
- HJØRNENAVGRENSING FARGE/KOTE - KART  
BOUGUERANOMALIER (DATABILAG 2)
- AVGRENSING TOLKNINGSKART - FJELLOVERFLATE  
(KARTBILAG 91.224 - 03)
- UTPLUKKS-/TOLKNINGS - PROFIL
- MÅLEPROFIL (AVVIK FRA UTPLUKKS-PROFIL)

NGU  
GRAVIMETRI  
OVERSIKTSKART  
STJØRDAL  
STJØRÅL KOMMUNE, NORO-TRØNDELAG

NORGES GEOLISKE UNDERSØKELSE  
TRONDHEIM

MÅLESTOKK	MÅLT JFT	1985
1: 50 000	TEGN JFT	NOV 1991
	TRAC	
	KFR	

TEGNING NR.	KARTBLAD NR.
91.224 - 01	1621



STJØRDALEN. GRAVITY MODELS

NGU GRAVIMETRI TYNGDEMODELLERING - FJELLOVERFLATE STJØRDAL STJØRDAL, NORD-TRØNDALAG	MÅLESTOKK	MÅLT JFT	1985
	TEGN JFT		
	TRAC T.H.		
	KFR		
1:10 000			
NORGES GEOLOGISKE UNDERSØKELSE			TEGNING NR.
TRONDHEIM			91.224-02
			KARTBLAD NR.
			1621 I

